

## شیمی و مکانیسم تشکیل گارنت‌ها در متاپلیت‌ها و متابازیت‌های کمپلکس دگرگونی گل‌گوهر، استان کرمان

حسین فاتحی

گروه زمین‌شناسی، دانشکده علوم، دانشگاه شهید باهنر کرمان، کرمان

\* hoseinfatehi61@gmail.com نویسنده مسئول:

دریافت: ۹۷/۳/۱۴ پذیرش: ۹۷/۶/۳۱

### چکیده

شواهد بافتی ثبت شده در گارنت‌های موجود در متاپلیت‌ها و متابازیت‌های کمپلکس دگرگونی گل‌گوهر در جنوب‌شرق زون سنندج-سیرجان، نشانه‌های رشد همزمان با شیستوزیت  $\text{S}_1$ ، بعد از شیستوزیت  $\text{S}_2$  و بعد از شیستوزیت  $\text{S}_3$  را نشان می‌دهند و وجود دو نسل از گارنت ( $\text{Grt}_{\text{Ia}} + \text{Bt}_{\text{I}} = \text{Bt}_{\text{II}} + \text{Grt}_{\text{Ib}} + \text{Qz} + \text{H}_2\text{O}$ ) در یک نمونه واکنش  $\text{X}_{\text{Fe}}$  را برای آن‌ها پیشنهاد می‌کند. پروفیل‌های ترکیبی بلورهای گارنت در متاپلیت‌ها و متابازیت‌های گل‌گوهر کاهش سازنده‌های اسپسارتین و  $\text{X}_{\text{Fe}}$  و افزایش سازنده‌های پیروپ و آلماندن را از مرکز به سمت حاشیه بلورها نشان می‌دهند و حاکی از تبلور آن‌ها در طی دگرگونی پیشرونده می‌باشدند. افزایش  $\text{Mn}$  در هسته گارنت‌ها حاکی از رشد بلوری و تفرقی عنصر مرتبط با فرآیندهای دگرگونی می‌باشد. از طرفی عدم منطقه‌بندی مشخص عنصر  $\text{Ca}$  و  $\text{Al}$  از هسته به حاشیه گارنت‌ها و تغییرات ناچیز عنصر  $\text{Fe}$  از مرکز به سمت حاشیه می‌تواند به دلیل بسته بودن سیستم دگرگونی و عدم اکسیداسیون  $\text{Fe}^{2+}/\text{Fe}^{3+}$  باشد و نشانگر آن است که رشد گارنت‌ها در اثر پدیده رشد بلوری و تفرقی عنصر در طی دگرگونی رخ داده است. در فیلوفئیت‌های گاربن‌شیفر افزایش منیزیم و آهن از مرکز به سمت حاشیه گارنت‌ها همراه با افزایش  $\text{Ca}$  در هورنبلندها و کاهش  $\text{Ca}$  و آنورتیت از مرکز به سمت حاشیه پلازیوکلазها پیشنهاد می‌کند که گارنت‌ها، احتمالاً در اثر واکنش بین آمفیبول و پلازیوکلاز، طبق واکنش  $\text{Hornblende} + \text{Anorthite} = \text{Garnet} + \text{Quartz} + \text{H}_2\text{O}$  بوجود آمده باشند. درشت‌شده‌گی و رشد سریع پورفیروبلاست‌های فراوان هورنبلند همراه با بوجود آمدن بلورهای گارنت، باعث کاهش  $\text{H}_2\text{O}$  و افزایش  $\text{CO}_2$  سیال شده که بلورهای کلسیت تشکیل شده در زمینه سنگ، این موضوع را نشان می‌دهند.

### واژه‌های کلیدی: متاپلیت، متابازیت، گارنت، کمپلکس گل‌گوهر، زون سنندج-سیرجان

واقع شده است. از جمله مطالعات انجام شده بر روی بخش جنوبی زون سنندج-سیرجان می‌توان به مطالعات سبزه‌ای و همکاران (۱۹۹۷)، اشاره کرد. ایشان در گزارش کلی خود، سنگ‌های دگرگونی منطقه مورد مطالعه را اجزای یک محیط رسوبی دانسته که در دوره زمانی پائیزوئیک زیرین تا اوایل مزوزوئیک تشکیل شده‌اند. به طوریکه این محیط‌ها، همزمان دارای یکسری فعالیت‌های ماقمایی نیز بوده‌اند. سپس تحت تأثیر یک دگرگونی ایستایی قرار گرفته و در پی آن در طی فاز سیمیرین پیشین، دگرگونی اصلی رخ داده است. از دیگر پژوهش‌های انجام شده می‌توان به مطالعات فضل‌نیا و همکاران (۱۳۸۶) اشاره نمود. ایشان به مطالعه سنگ‌های دگرگونی کمپلکس قوری و باتولیت چاه دزدان در شمال شرق نیریز پرداخته است و بیان می‌دارد که دگرگونی

### مقدمه

بلورهای گارنت همیشه به عنوان سازنده‌های مهم شیمیایی در سنگ‌های دگرگونی تلقی می‌شوند. با توجه به نوع سنگ دربرگیرنده، ترکیب زمینه، مجموعه کانی‌های پیرامون گارنت‌ها و شرایط دما و فشار، عنصر مختلفی در این کانی‌ها شرکت کرده و در نتیجه انواع گارنت ایجاد می‌شود. از طرفی منطقه‌بندی شیمیایی و شواهد بافتی که در بلورهای گارنت در طی فرآیندهای دگرگونی ثبت می‌شود، شواهد ارزشمندی در تفسیر سرگذشت تکتونومتروفیکی مناطق دگرگونی و تاثیر فرآیندهای رشد و سیالات در طی دگرگونی را بدست می‌دهد. منطقه‌ای که در این مقاله، مورد مطالعه قرار گرفته است، بخشی از انتهای جنوب‌شرق پهنه دگرگونی سنندج-سیرجان می‌باشد که در جنوب استان کرمان

فاز کوهزایی سیمرین پیشین دگرگون و دگرشكل شده است (سبزه‌ای و همکاران، ۱۹۹۷). زون دگرگونی سنندج-سیرجان به صورت نوار طویل دگرگون شده با طول تقریبی ۱۲۰۰ کیلومتر و عرض ۱۵۰ تا ۲۰۰ کیلومتر در امتداد و به موازات روراندگی زاگرس کشیده شده و ادامه آن به سمت شمال به کمریند Taurus در ترکیه می‌پوندد و یک خشکی پشتی در کوهزایی زاگرس می‌باشد (آگارد و همکاران، ۲۰۰۵ و ۲۰۱۱؛ مجلل و فرگوسن، ۲۰۱۴ و ۲۰۰۰). این زون شامل سنگ‌های دگرگون و دگرشكل شده پالئوزوئیک و سنگ‌های پلوتونی و آتشفسانی دگرشكل نشده مژوزوئیک است (مجلل و همکاران، ۲۰۰۳؛ قلمقاش و همکاران، ۲۰۰۹؛ محمودی و همکاران، ۲۰۱۱؛ احمدی‌خلجی و همکاران، ۲۰۰۷) و به دو بخش شمالی و جنوبی تقسیم شده است (افتخارنژاد، ۱۳۵۹) و منطقه مورد مطالعه در بخش جنوبی آن قرار دارد. قسمت جنوبی زون سنندج-سیرجان هم از سنگ‌های پالئوزوئیک که روی یک محیط کراتونی تشکیل شده‌اند و هم از سنگ‌های مافیک-ترامافیک پرمین کربونیفر تشکیل شده است (شیخ‌الاسلامی، ۲۰۰۸). در قسمت جنوبی این زون، واحدهای پالئوزوئیک در طی فاز کوهزایی سیمرین پیشین دگرگون و دگرشكل شده‌اند (عرفانی و شهریاری، ۲۰۰۹؛ سبزه‌ای و همکاران، ۱۹۹۷؛ شیخ‌الاسلامی، ۲۰۰۸). در این منطقه واحدهای سنگی پالئوزوئیک شامل کمپلکس‌های دگرگونی گل‌گوهر، روتشون و خیر می‌باشند. قدیمی‌ترین واحد مربوط به کمپلکس دگرگونی گل‌گوهر با سن پالئوزوئیک زیرین (کامبرین) (سبزه‌ای و همکاران، ۱۹۹۷) می‌باشد که شامل واحدهای سنگ‌شناسی اسلیت، فیلیت، میکاشیست، توده‌های نفوذی اسیدی دگرگون شده (گنیس)، آمفیبولييت و کوارتزیت است و همارز سازند لalon در البرز مرکزی (شمال ایران) می‌باشند. بر روی این واحدها کمپلکس دگرگونی روتشون با سن اردوبیسین قرار گرفته است و شامل واحدهای سنگ‌شناسی متادولومیت، شیست‌سیز، میکاشیست و کمی آمفیبولييت است و همارز سازند میلا در البرز مرکزی است (سبزه‌ای و همکاران، ۱۹۹۷). در بسیاری از نقاط بر روی واحدهای کمپلکس روتشون، مجموعه‌ای از مرمرهای دولومیتی-کلسیتی، کالک‌شیست‌ها، اسلیت‌ها و فیلیت‌ها که سن آن‌ها از دونین

ناحیه‌ای قوری در کمریند کوهزایی سیمرین پیشین و در اثر ضخیم‌شدگی پوسته‌ای حادث شده است. همچنین شفیعی بافتی (۱۳۷۹)، نیز به بررسی تکوین ساختاری و تکتونیکی سنگ‌های پالئوزوئیک کمریند سنندج-سیرجان در منطقه خبر پرداخته است. نامبرده، دگرگونی نهشته‌های پالئوزوئیک را مربوط به سیمرین آغازی می‌داند و بیان می‌کند که تأثیر رژیم زمین‌ساختی کششی در سیمرین میانی و عملکرد کوهزایی لارامید به عنوان شروع رژیم فشارشی همگی در این منطقه دیده می‌شود. در منطقه مورد مطالعه، بلورهای گارنت به شکل‌ها و ترکیبات مختلفی دیده می‌شود و در این پژوهش به بررسی تغییرات ترکیبی این کانی و مراحل رشد و مکانیسم تشکیل آن در متابلیت‌ها و متابازیت‌های کمپلکس گل‌گوهر پرداخته می‌شود.

### روش مطالعه

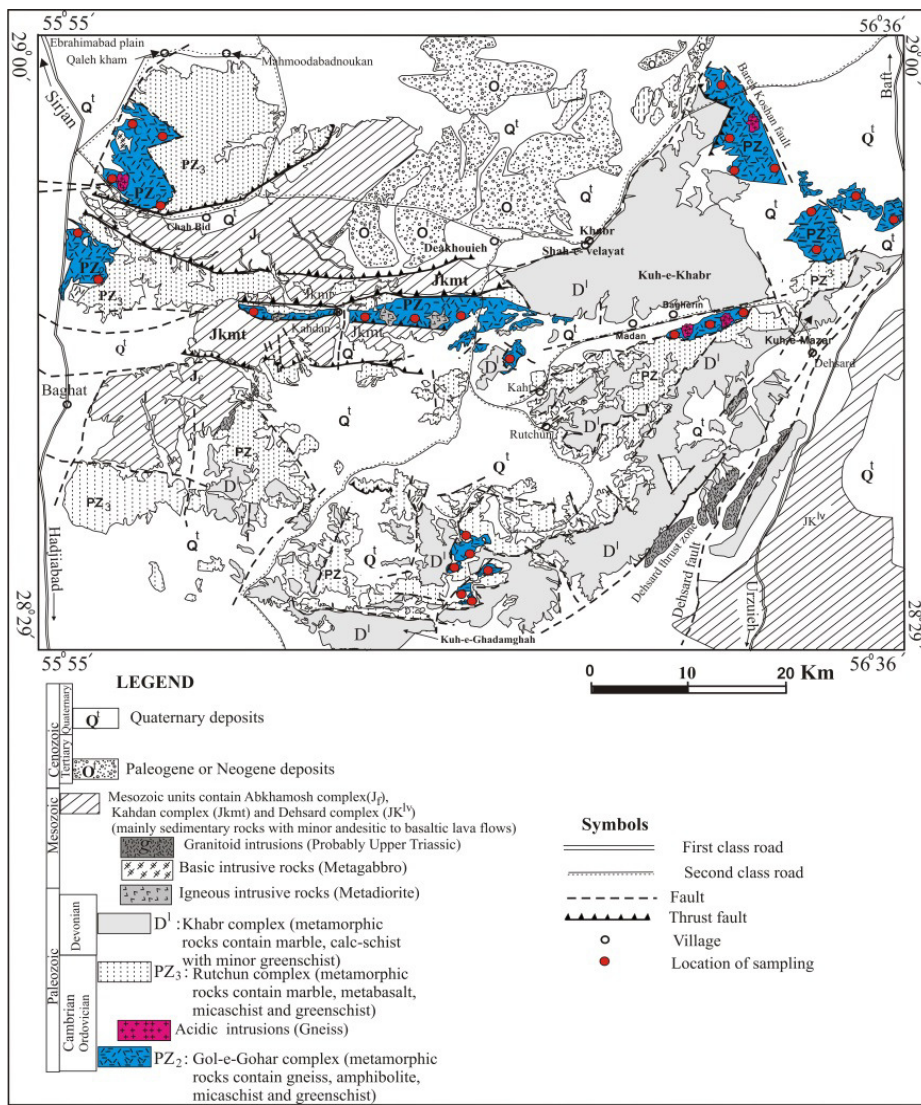
پس از مطالعات صحرایی، تعداد ۸۰ مقطع نازک از رخنمون‌های مختلف، تهیه و مطالعات سنگنگاری، بررسی روابط پتروفابریکی و شناسایی فازهای دگرگونی و دگرshelfکلی بر روی آن‌ها انجام گرفت. همچنین تعداد ۲۰ مقاطع نازک-صیقلی از سنگ‌های مورد مطالعه تهیه گردید که از میان آن‌ها تعداد ۳ مقطع از سنگ‌های رسوبی دگرگون شده و ۲ نمونه از متابازیت‌های کمپلکس گل‌گوهر که کمترین دگرسانی را داشتند، بوسیله دستگاه الکترون میکروپروب M JEOL-JX 8600 با شرایط ولتاژ ۱۵KV و جریان الکتریکی ۲۰nA در دانشگاه یاماگاتای ژاپن مورد تجزیه شیمیایی قرار گرفتند. از مواد طبیعی و مصنوعی به عنوان استاندارد استفاده شده است. همچنین حد آشکارسازی عناصر آنالیز شده بین ۰/۰۹ تا ۰/۰۲ درصد می‌باشد. محاسبه فرمول ساختاری گارنت‌ها بر اساس ۱۲ اتم اکسیژن انجام شده و جهت تفکیک  $\text{Fe}^{3+}$  از  $\text{Fe}^{2+}$  از معادله دروب (۱۹۸۷) استفاده شده است. در این نوشтар از اختصارات کانی شناسی ویتی و اوانس (۱۰۱۰) استفاده شده است.

### زمین‌شناسی منطقه

منطقه مورد مطالعه در جنوب‌شرق ایران، جنوب‌شرق زون دگرگونی سنندج-سیرجان، در استان کرمان و در جنوب‌غرب شهرستان بافت قرار دارد (شکل ۱) و در اثر

گدازه‌ی آندزیتی و بازالتی با سن ژوراسیک زیرین - کرتاسه بالایی و توده‌های نفوذی گرانیتوئیدی می‌باشند.

میانی تا کربونیfer زیرین است، قرار دارند که به نام کمپلکس خبر نام‌گذاری شده‌اند. همچنین واحدهای مزوژوئیک شامل شیل، ماسه‌سنگ، کنکلومرا و جریانات



شکل ۱. نقشه زمین‌شناسی ساده شده از منطقه، براساس نقشه زمین‌شناسی ۱/۱۰۰۰۰ خبر، نقل از سبزه‌ای و همکاران (۱۹۹۷) با تغییرات

آمفیبول شیست، اپیدوت آمفیبولیت، آمفیبولیت و گارنت آمفیبولیت هستند و به صورت جریانات گدازه‌ای دگرگون شده دارای گارنت و فاقد گارنت قبل مشاهده هستند. سنگ‌های بازیک دگرگون شده که در درجات دگرگونی پایین قرار دارند ریزدانه بوده و شیستوزیته در آن‌ها کمتر توسعه پیدا کرده است. در این نمونه‌ها، آثار کانی‌شناسی اولیه سنگ مادر به صورت بافت پورفیری و وجود بلورهای پلازیوکلاز سنگ اولیه در سنگ تا حدی قابل تشخیص است و ریزبلورهای کلریت و اپیدوت باعث رنگ

### برداشت‌های صحرایی

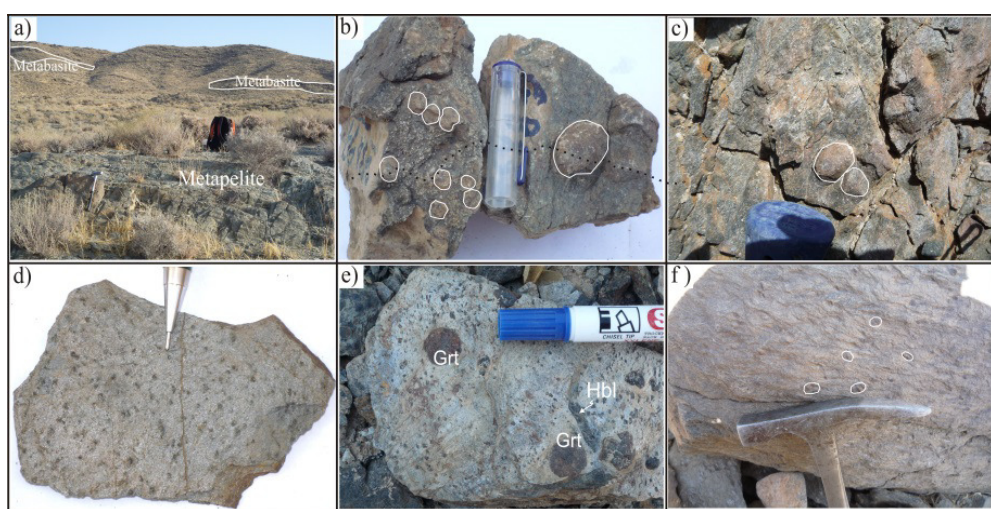
سیمای سنگی کمپلکس گل‌گوهر را تنابی از واحدهای رسوبی دگرگون شده، سنگ‌های آذرین بازیک دگرگون شده و آهک‌های دگرگون شده، تشکیل می‌دهند که همگی درجاتی از دگرگونی را تحمل کرده‌اند (شکل ۲، a). سنگ‌های آذرین بازیک دگرگون شده با رنگ خاکستری تیره متمایل به سیاه و سبز روشن تا تیره به صورت لایه‌هایی با ضخامت متغیر (از یک متر تا بیش از ۵۰ متر) در تنابو با لایه‌های متاپلیتی و آهکی قرار دارند و شامل

(شکل ۲، e). شیسته‌ها به صورت لایه‌هایی با رنگ خاکستری روشن تا سبز رنگ در تنابوب با دیگر واحدهای سنگی منطقه دیده می‌شوند. این سنگ‌ها در نمونه دستی حاوی پورفیروبلاستهای گارنت، بیوتیت و موسکویت می‌باشند و شامل انواع بیوتیت شیست، موسکویت شیست، گارنت‌شیست و گارنت بیوتیت شیست هستند. شیستوزیته در اثر جهت‌یافتنگی ترجیحی ورقه‌های بیوتیت و موسکویت در این سنگ‌ها توسعه خوبی یافته و در بعضی موارد به صفحه‌گی و در یک امتداد قرار گرفتن پورفیروبلاستهای گارنت و جهت‌یافتنگی کانی‌های بیوتیت و موسکویت خطوارگی را در این سنگ‌ها نشان می‌دهد (شکل ۲، f). در شیسته‌های گارنت در جنوب روستای زرآب و جنوب روستای قلعه‌خم که اندازه پورفیروبلاستهای گارنت به  $1/3$  سانتی‌متر می‌رسد، شیستوزیته در سنگ ضعیفتر شده و سنگ تا حدودی بافت گرانوبلاستیک نشان می‌دهد. همچنین در بعضی شیسته‌ها اندازه بلورهای بیوتیت و موسکویت به  $0/7$  سانتی‌متر می‌رسد که به صورت بلورهای پهن در سطح سنگ قابل مشاهده‌اند. این سنگ‌ها حاوی کینکباند و چین‌خوردگی می‌باشند. رگه‌هایی متشكل از کوارتز و کلسیت با ضخامت متغیر در متاپلیت‌های منطقه تشکیل شده و توسعه یافته است. این رگه‌ها هیچ‌گونه جهت‌یافتنگی را نشان نمی‌دهند و برگوارگی و خطوارگی موجود در سنگ‌های منطقه را قطع کرده‌اند و احتمالاً در هنگام و بعد از شرایط اوج دگرگونی تشکیل شده‌اند.

سبز سنگ شده‌اند. اما با افزایش درجه دگرگونی اندازه کانی‌های تشکیل‌دهنده سنگ درشت‌تر شده و بلورهای پلازیوکلاز، بیوتیت، آمفیبول و گارنت (شکل ۲، b و c) به صورت تناوبی از باندهای تیره (غنی از آمفیبول) و روشن (غنی از پلازیوکلاز) خود را نشان می‌دهند. گاهی نیز سنگ‌های مورد نظر غنی از هورنبلندهایی می‌باشند که به صورت کشیده و سوزنی شکل یک خطوارگی را به نمایش می‌گذارند (شکل ۲، b و c).

متاپلیت‌ها شامل فیلیت و شیست می‌باشند که درجه دگرگونی آن‌ها از رخساره شیست‌سبز تا آمفیبولیت متغیر است. این سنگ‌ها به صورت لایه‌هایی با ضخامت متغیر (از نیم‌متر تا بیش از  $100$  متر) در تنابوب با متابازیت‌ها و آهک‌های دگرگون شده قابل مشاهده هستند. اسلیت‌ها با رنگ خاکستری تا خاکستری تیره، بسیار ریزدانه بوده و حاوی رخ اسلیتی، کینکباند و چین‌خوردگی می‌باشند و به آسانی با ضربات چکش متورق می‌شوند. فیلیت‌های منطقه درشت‌ترند، فولیاسیون واضح‌تری داشته و در سطح فولیاسیون جلای براق نشان می‌دهند. در نمونه دستی این سنگ‌ها، کانی‌های ریز بیوتیت، موسکویت، گارنت، کوارتز و فلدسپات قابل مشاهده‌اند (شکل ۲، d).

همچنین در بعضی فیلیت‌ها، در اثر عملکرد محلول‌های گرمابی، درشت بلورهایی از هورنبلند و گارنت به صورت تاول مانند بر روی شیستوزیته سنگ رشد کرده‌اند و به این گروه از فیلیت‌های میلیونیتی می‌توان نام فیلیونیت‌های گاربن‌شیفر را اطلاق نمود (استفن و همکاران، ۲۰۱۴)



شکل ۲. تصاویری از واحدهای دگرگونی کمپلکس گل‌گوهر: a: نمایی از تنابوب متاپلیت‌ها و متابازیت‌ها در کمپلکس گل‌گوهر؛ b و c: درشت بلورهای گارنت در متابازیت‌های کمپلکس گل‌گوهر؛ d: ریزبلورهای گارنت در فیلیت‌های گل‌گوهر؛ e: رشد درشت بلورهای گارنت بر روی سطح شیستوزیته در فیلیونیت‌های گاربن‌شیفر کمپلکس گل‌گوهر؛ f: بلورهایی از گارنت در سطح شیسته‌ها قابل مشاهده‌اند.

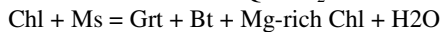
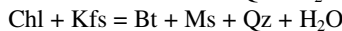
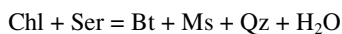
(Grt<sub>Ia</sub>) و حاشیه‌ای (Grt<sub>Ib</sub>) می‌باشند (شکل ۳، a : b : c). در قسمت مرکزی این پورفیروبلاست‌ها، ادخال‌های سینوسی شکلی از پلاژیوکلاز، کوارتز کانی‌های اپاک و کانی‌های فیلوسیلیکات دیده می‌شود که با شیستوزیت<sub>1</sub> S<sub>1</sub> باقی‌مانده در زمینه سنگ هم‌جهت بوده و جهتی متفاوت (۵۰ تا ۷۰ درجه) نسبت به شیستوزیت<sub>1</sub> فراغیر<sub>2</sub> S<sub>2</sub> نشان می‌دهند و این موضوع نشان می‌دهد که قسمت مرکزی گارنت‌ها هم‌زمان با شیستوزیت<sub>1</sub> S<sub>1</sub> بوجود آمده‌اند. در قسمت حاشیه‌ای این پورفیروبلاست‌ها، مقدار انکلوزیون‌ها کاهش یافته ولی رشتة‌های نازکی از کانی‌های فیلوسیلیکات دیده می‌شود که به برگوارگی زمینه ملحق می‌شوند. الحق و اتصال برگوارگی در قسمت حاشیه‌ای این پورفیروبلاست‌ها به برگوارگی زمینه، حاکی از هم‌زمانی رشد قسمت حاشیه‌ای آن‌ها با شیستوزیت<sub>2</sub> S<sub>2</sub> دارد (Grt<sub>IIb</sub>). وجود دو گروه از گارنت که احتمالاً مربوط به دو شیستوزیت<sub>1</sub> S<sub>1</sub> و S<sub>2</sub> می‌باشند در یک نمونه سنگی می‌تواند نشان‌دهنده واکنش آبزدایی + Bt<sub>I</sub> + Grt<sub>Ia</sub> = Bt<sub>II</sub> + Grt<sub>IIb</sub> + Qz + H<sub>2</sub>O باشد (مارتینو و همکاران، ۲۰۰۹). همچنین در متاپلیت‌هایی که شیستوزیت<sub>1</sub> فراغیر<sub>2</sub> S<sub>2</sub> توسعه یافته است، گارنت‌هایی دیده می‌شوند که فاقد قسمت مرکزی و حاشیه‌ای بوده و هم‌زمان با شیستوزیت<sub>1</sub> S<sub>2</sub> تشکیل شده‌اند (Grt<sub>II</sub>) (شکل ۳، e : f). در این نمونه‌ها، اندازه بولرهای فلدسپات پتاسیم، کوارتز، بیوتیت، موسکوویت و پلاژیوکلاز درشت‌تر شده و بافت لپیدوبلاستیک تا گرانوبلاستیک را به نمایش می‌گذارند. بولرهای کلریت و در بعضی نمونه‌ها بولرهای موسکوویت در حال حذف شدن از ساختار سنگ می‌باشند. همیزیستی بولرهای گارنت، بیوتیت، پلاژیوکلاز و موسکوویت (به مقدار کم و یا عدم حضور آن) در این نمونه‌ها و وجود انکلوزیون‌هایی از موسکوویت، کلریت، بیوتیت، سریسیت، فلدسپات و کوارتز درون گارنت‌ها (شکل ۳، e : f) می‌تواند نشانه واکنش‌های پیوسته آبزدایی (۲۰۱۱) باشد (وینکلر، ۲۰۱۱؛ بوخر و گرپس، ۲۰۱۱).

$\text{Chl} + \text{Bt} + \text{Qz} = \text{Grt} + \text{Bt} + \text{H}_2\text{O}$   
 $\text{Chl} + \text{Ms} + \text{Qz} = \text{Grt} + \text{Bt} + \text{H}_2\text{O}$   
 $\text{Chl} + \text{Bt} + \text{Kfs} + \text{Qz} = \text{K-Na-Ca Feldspar} + \text{Mg-rich Bt} + \text{H}_2\text{O}$   
 $\text{Ms} + \text{Chl} + \text{Cal} + \text{Qz} = \text{Pl} + \text{Bt} + \text{CO}_2 + \text{H}_2\text{O}$

فیلونیت‌های گاربن‌شیفر ریزدانه و میلونیتی بوده و دارای پاراژنز کانیایی کوارتز، فلدسپات، کلریت، اپیدوت، کلسیت، اسفن، موسکوویت، ایلمنیت و بیوتیت می‌باشند.

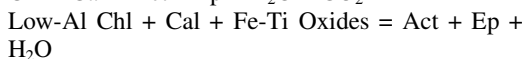
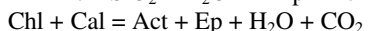
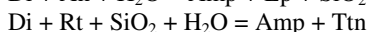
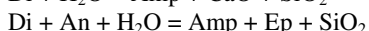
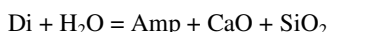
## مطالعات پتروگرافی

مطالعات صحرایی، پتروگرافی، ساختاری و پتروفابریکی نشان می‌دهند که چهار حادثه دگرگونی و چهار فاز دگرشکلی، سنگ‌های مذکور را تحت تاثیر قرار داده‌اند. در ابتدا متاپلیت‌های منطقه در اثر فرونژینی حوضه رسوبی و فشار ناشی از وزن طبقات فوقانی تحت تاثیر یک حادثه دگرگونی تدفینی (M<sub>X</sub>) قرار گرفته و کانی‌های اولیه سنگ مادر مانند کوارتز، فلدسپات، گرافیت، کلریت، سریسیت، اپاک و کانی‌های رسی به موازات لایه‌بندی اولیه پهن شده و جهت‌یابی ضعیفی را نشان می‌دهند که ما آن را با علامت S<sub>X</sub> نشان می‌دهیم. سپس، در اولین مرحله دگرگونی تدفینی (D<sub>1</sub>)، نیروهای فشارشی همراه با فاز حرارتی باعث تشکیل چین‌های نسل اول و ایجاد برگوارگی سطح محوری شده‌اند که بوسیله جهت‌یابی ترجیحی بلورهای بیوتیت، موسکوویت، کوارتز و فلدسپات به خوبی توسعه یافته و با درشت‌شدنگی بلورها همراه می‌باشد و باعث توسعه شیستوزیت<sub>1</sub> S<sub>1</sub> شده‌اند. در این نمونه‌ها، بقایایی از شیستوزیت<sub>1</sub> S<sub>1</sub> به صورت ریزبلورهای کلریت، سریسیت، موسکوویت، فلدسپات و کوارتز که مربوط به دگرگونی تدفینی نمونه‌ها می‌باشد، در بین شیستوزیت<sub>1</sub> S<sub>1</sub> دیده می‌شود. افزایش دما و فشار در این مرحله، باعث ایجاد کانی‌های بیوتیت، گرافیت، موسکوویت، گارنت، فلدسپات و کوارتز شده که با رشد و درشت‌شدنگی آن‌ها همراه بوده است. بنابراین، وجود پاراژنز کانیایی کلریت، موسکوویت، گرافیت، سریسیت، فلدسپات، کوارتز، بیوتیت و گارنت (شیستوزیت<sub>1</sub> S<sub>1</sub>) و وجود انکلوزیون‌هایی از موسکوویت، کلریت، سریسیت، فلدسپات و کوارتز درون گارنت‌ها (شکل ۳، a : b) نشان می‌دهد که واکنش‌های پیوسته آبزدایی زیر می‌تواند رخ داده باشد (وینکلر، ۲۰۱۱؛ نورلندر و همکاران، ۲۰۰۲؛ لیلی و همکاران، ۲۰۱۰).



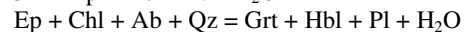
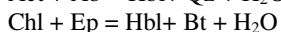
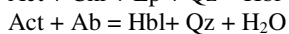
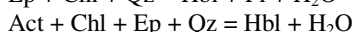
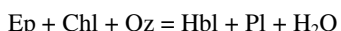
با تعییر جهت تنفس در مرحله دوم دگرشکلی (D<sub>2</sub>)، و هم‌زمان با M<sub>2</sub>، پورفیروبلاست‌های گارنت، بیوتیت، موسکوویت در اثر رشد مجدد، درشت‌تر شده و در جهت شیستوزیت<sub>2</sub> دوم (S<sub>2</sub>) به موازات سطح محوری چین‌های مرحله دوم مرتب شده‌اند. در این نمونه‌ها، پورفیروبلاست‌های گارنت دارای دو قسمت مرکزی

واکنش تشکیل آمفیبیول و اپیدوت می‌باشد که داخل بلور محفوظ مانده‌اند.



با افزایش یافتن درجه دگرگونی (رخساره شیستسبز میانی تا آمفیبیولیت زیرین)، بافت و کانی‌شناسی آذرین اولیه از بین رفته و کانی‌های حاصل از دگرگونی در سنگ دیده می‌شوند و شیستوزیته  $\text{S}_2$  به صورت تناوبی از باندهای تیره غنی از آمفیبیول و بیوتیت و باندهای روشن غنی از پلازیوکلاز خود را نشان می‌دهد.

حذف کلریت و اپیدوت از ساختار سنگ و ظهرور فازهایی مانند هورنبلند، پلازیوکلاز، گارنت و بیوتیت در این نمونه‌ها، همچنین وجود انکلوژیون‌های ریز اپیدوت (با فراوانی بسیار کم) در داخل گارنت‌ها (شکل ۳، ج. ۱)، واکنش‌های زیر را پیشنهاد می‌کند (وینکلر، ۱۱؛ ۲۰۱۱؛ بوخر و گرپس، ۲۰۱۱).



در متاتابزیت‌ها پورفیروblast‌های گارنت به صورت شش ضلعی شکل دار تا نیمه‌شکل دار، به رنگ قهوه‌ای کم رنگ و ایزوتروپ دیده می‌شوند. گروهی از گارنت‌ها دارای انکلوژیون‌های جهت‌یافته‌ای با حالت کاملاً مستقیم از کوارتز، پلازیوکلاز و بیوتیت هستند که در سراسر بلور گارنت امتداد دارند. جهت این ادخال‌ها در گارنت، زوایایی بین ۵۰ تا ۷۰ درجه با جهت شیستوزیته اصلی سنگ (شیستوزیته  $\text{S}_2$ ) می‌سازند. این گارنت‌ها دارای سطوح صاف و شکل دار بوده و فاقد سایه فشاری و کلاه واتنسی می‌باشند و توسط شیستوزیته  $\text{S}_2$  در بر گرفته شده‌اند که نشانه پست تکتونیک بودن آن‌ها نسبت به شیستوزیته  $\text{S}_1$  است (نمونه GB-259) (شکل ۳، ج. ۲). اما گروه دیگر از گارنت‌ها دارای دو قسمت مرکزی و حاشیه‌ای می‌باشد (نمونه GB-93). قسمت مرکزی دارای انکلوژیون‌های جهت‌یافته‌ای از کوارتز، فلدسپات و کانی‌های اپاک است که به صورت خطوط صاف و مستقیم دیده می‌شوند و نسبت به شیستوزیته  $\text{S}_2$  مایل تا عمود می‌باشند. این ادخال‌ها جهت شیستوزیته  $\text{S}_1$  را نشان می‌دهند. به نظر

همچنین پورفیروblast‌های ریز تا درشتی از هورنبلند و گارنت (تا قطر ۲ سانتی‌متر) در این نمونه‌ها دیده می‌شود که بر روی شیستوزیته رشد کرده‌اند. در مقیاس میکروسکوپی، این پورفیروblast‌ها بر روی شیستوزیته قبلی سنگ نقش بسته‌اند و شواهدی همچون عدم تغییرشکل شیستوزیته خارجی سنگ در اطراف این پورفیروblast‌ها، نبود سایه فشاری و خاموشی موجی، نشان می‌دهد که آن‌ها بعد از تشکیل شیستوزیته فراگیر و بعد از اینکه سنگ تحت تاثیر نیروهای میلیونی قرار گرفته، تشکیل شده و به همین دلیل بلورهای آمفیبیول دگرگشکلی نشان نمی‌دهند. هسته گارنت‌ها دارای ادخال‌های سینوسی شکل تا مستقیم می‌باشند و همزمانی رشد هسته گارنت را با شیستوزیته نشان می‌دهند، اما حاشیه آن‌ها دارای سطوح صاف و شکل دار بوده و فاقد ادخال می‌باشد و در حالت ایستا و احتمالاً در اثر محلول‌های هیدروترمال بر روی شیستوزیته، رشد کرده‌اند (شکل ۳، ج. ۱، ۲، ۳).

متابازیت‌هایی که در درجات دگرگونی پایین (رخساره شیستسبز زیرین و میانی) قرار دارند، فولیاسیون ضعیفی داشته و می‌توان آثاری از بافت پورفیری و کانی‌های آذرین اولیه مانند پلازیوکلاز و پیروکسن را در آن‌ها مشاهده کرد. در این سنگ‌ها، بلورهای اپیدوت، کلریت و اکتینولیت-هورنبلند به جای کانی‌های فرومیزین قدیمی مانند پیروکسن و کلریت، کلسیت و سریسیت به جای بلورهای فلدسپات متبloc شده‌اند. در این نمونه‌ها می‌توان تشکیل بلورهای کلریت، اپیدوت، اکتینولیت-هورنبلند و کانی‌های اپاک را که غالباً فاقد جهت‌یابی خاصی می‌باشند، به اولین مرحله دگرگشکلی نسبت داد. وجود بلورهای کلریت، اپیدوت، کلسیت و سریسیت به همراه فازهای باقی‌مانده از سنگ مادر، مانند پلازیوکلاز و کانی‌های مافیک مانند پیروکسن و ظهرور آمفیبیول با افزایش درجه دگرگونی و از طرفی فراوانی فازهای کدر مانند اسفن، ایلمنیت و روتیل در ترکیب این نمونه‌ها، و بعضًا وجود ادخال‌هایی از بلورهای کلسیت، کانی‌های فرومیزین قدیمی، کلریت و فلدسپات در داخل بلورهای آمفیبیول نشان می‌دهد که احتمالاً واکنش‌های زیر رخداده است (وینکلر، ۱۱؛ ۲۰۱۱؛ بوخر و گرپس، ۲۰۱۱؛ بوخر و فری، ۲۰۰۲). ادخال‌هایی که داخل بلورهای آمفیبیول دیده می‌شود، احتمالاً سازنده‌های شرکت کرده در

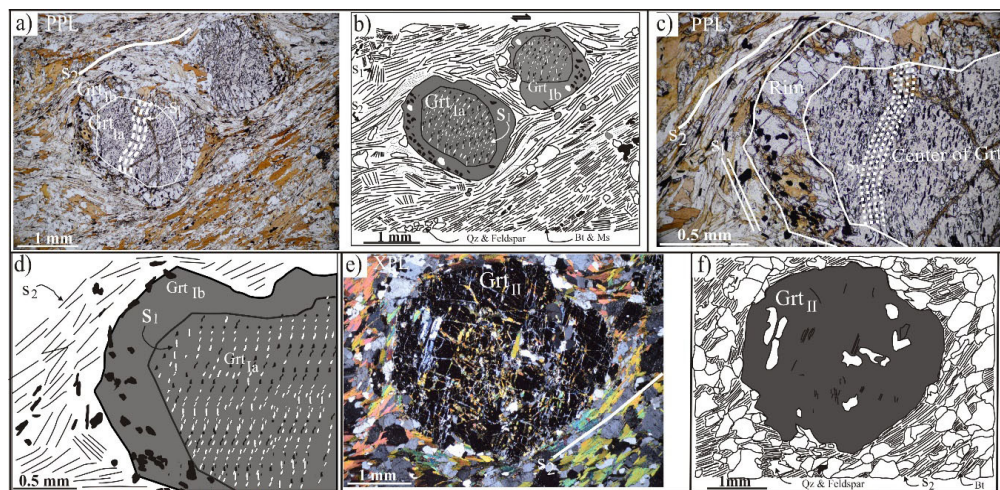
دگرگونی. بنابراین در مناطق برشی، سنگ‌هایی که میلیونیت شده‌اند، شیستوزیته محلی  $S_3$  در آن‌ها توسعه یافته است و در تمامی سنگ‌ها عمومیت ندارد. همچنان در این مرحله، دگرگونی پس‌رونده نیز بر روی سنگ‌های مورد مطالعه اعمال شده است (شکل ۳، ۰). فاز چهارم دگرگشکلی ( $D_4$ )، باعث گسل‌خوردگی و از هم‌گسیختگی واحدهای سنگی منطقه شده است. اثرات این فاز دگرگشکلی شکنا در مقاطع نازک نیز به صورت گسل‌خوردگی لایه‌ها و بلورها و جدایش آن‌ها خود را نشان می‌دهد. دگرگون و دگرگشکل شدن تمامی واحدهای کمپلکس دگرگونی گل گوهر منطبق بر فاز کوهزایی سیمیرین پیشین می‌باشدند.

#### شیمی گارنت

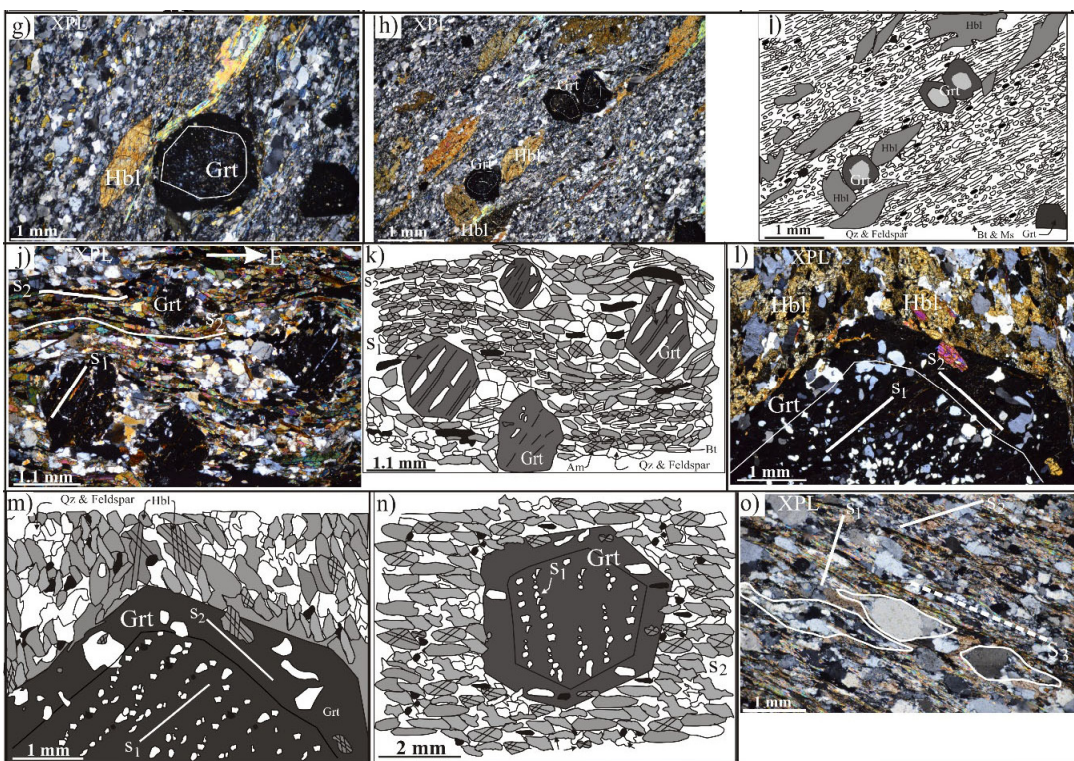
آنالیزهای شیمیایی الکترون میکروپریوب بلورهای گارنت در متاپلیت‌ها در دو مقطع شماره GS-233 و GS-102 و GB-259 در متابازیت‌ها بر روی نمونه‌های GB-93 و انجام شده است. محاسبه فرمول ساختاری گارنت‌ها بر اساس ۱۲ اتم اکسیژن انجام شده و جهت تفکیک  $Fe^{3+}$  از  $Fe^{2+}$  از معادله دروب (۱۹۸۷) استفاده شده است (جدول‌های ۱ و ۲ پیوست).

می‌رسد، قسمت مرکزی گارنت‌ها بر روی شیستوزیته  $S_1$  رشد کرده است و سپس با پیشرفت مسیر تکامل سنگ و در اثر فاز دگرگشکلی  $D_2$ ، شیستوزیته  $S_2$  در سنگ توسعه یافته است و رشد قسمت حاشیه‌ای پورفیروبلاست‌های گارنت به صورت رورشی بر روی گارنت‌های قبلی انجام شده است. قسمت حاشیه‌ای این پورفیروبلاست‌ها دارای ادخال کمتر است و جهت ادخال‌ها با جهت شیستوزیته کلی سنگ موازی است (شکل ۳، ۱). حاشیه گارنت‌ها صاف و شکل‌دار بوده و فاقد سایه فشاری و کلاه واتنشی می‌باشند و در مواردی بلورهای هورنبلنند که داخل شیستوزیته  $S_2$  هستند، در حاشیه گارنت نفوذ کرده‌اند. بنابراین قسمت حاشیه‌ای گارنت‌ها بر روی شیستوزیته  $S_2$  رشد کرده و بعد از  $S_2$  می‌باشند (شکل ۳، ۲).

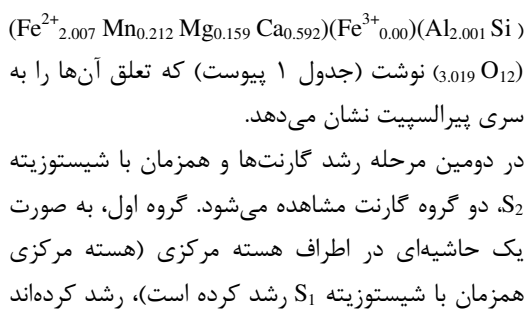
سومین فاز دگرگشکلی ( $D_3$ ، با سومین حادثه دگرگونی  $M_3$ ) منطبق بوده و به صورت مناطق برشی عمل کرده است. در این مرحله ریز بلورهای موسکویت در امتداد زون‌های برشی ایجاد شده است که جهت‌یابی آن‌ها و همجهت شدن دیگر کانی‌های تشکیل‌دهنده سنگ با نیروهای برشی، باعث تشکیل برگوارگی محلی و ضعیف شده است. برگوارگی محلی  $S_3$  تنها در مناطق برشی توسعه یافته و یک فابریک دگرگشکلی است نه یک ساختار



شکل ۳. تصاویر میکروسکوپی از متاپلیت‌ها و متابازیت‌های کمپلکس گل گوهر. در تصویر a: بلورهای گارنت در فیلیت‌ها از دو قسمت مرکزی و حاشیه‌ای تشکیل شده‌اند. حالت سینوسی شکل انکلوزیون‌ها در هسته گارنت‌ها، همزمانی رشد قسمت مرکزی گارنت با شیستوزیته  $S_1$  را نشان می‌دهند. ردیف‌های نازکی از کانی‌های فیلوسیلیکات در قسمت حاشیه‌ای گارنت‌ها وجود دارد که به برگوارگی زمینه ملحق می‌شوند و همزمانی رشد قسمت حاشیه‌ای آن‌ها را با شیستوزیته  $S_2$  نشان می‌دهند؛ b: شکل شماتیکی از تصویر a را نشان می‌دهد؛ c: تصویری از بلور گارنت را در متاپلیت‌ها نشان می‌دهد که قسمت مرکزی و حاشیه‌ای آن به راحتی قابل تشخیص می‌باشند. الگوی انکلوزیون‌ها در هسته گارنت، بقایایی از شیستوزیته  $S_1$  را نشان می‌دهد؛ d: شکل شماتیکی از تصویر c را نشان می‌دهد؛ e: در این تصویر، پورفیروبلاست‌هایی از گارنت در متاپلیت‌ها دیده می‌شود که همزمان با شیستوزیته  $S_2$  تشکیل شده‌اند؛ f: شکل شماتیکی از تصویر e را نشان می‌دهد.



ادامه شکل ۳. g: تصویر میکروسکوپی از فیلوبنیت‌های گاربن‌شیفر که بلورهایی از هورنبلند و گارنت بر روی سطح شیستوزیته رشد کرده‌اند و در مواردی نیز این بلورها به موازات شیستوزیته مرتب شده‌اند؛ ادخال‌ها در هسته گارنت شیستوزیته قبلی سنگ را نشان می‌دهد ولی سطوح صاف و شکل دار حاشیه گارنت نشان می‌دهد که حاشیه بر روی شیستوزیته تشکیل شده است؛ h: رشد بلورهای هورنبلند و گارنت در فیلوبنیت‌های گاربن‌شیفر؛ i: تصویر شماتیکی از قسمت h را نشان می‌دهد؛ j: تصویری از متاپابازیت‌های کمپلکس گل گوهر که شیستوزیته  $S_2$  در سنگ توسعه یافته و فراگیر شده است. در این تصویر، بلورهای گارنت دارای سطوح صاف و شکل دار بوده و فاقد سایه فشاری و کلاه واتنشی می‌باشند و انکلوزیون‌های داخل آن‌ها حالت مستقیم دارند. به نظر می‌رسد شیستوزیته  $S_1$  با ظهور، جهت‌یابی و کشیدگی کانی‌هایی مانند بیوتیت، کوارتز، فلدسپات و آمفیبول (به مقدار کم) توسعه پیدا کرده است و سپس پورفیروblast‌های گارنت بر روی آن رشد کرده‌اند، در مراحل بعدی دگرشکلی و با تغییر جهت تنش و افزایش دما و فشار، شیستوزیته  $S_2$  با جهت‌یابی بلورهای بیوتیت، آمفیبول، کوارتز و فلدسپات در سنگ توسعه یافته است و پورفیروblast‌های گارنت توسط شیستوزیته  $S_2$  در بر گرفته شده‌اند؛ k: شکل شماتیکی از تصویر j چهت بهتر مشخص شدن ساختارها را نشان می‌دهد؛ l: پورفیروblast گارنت در متاپابازیت‌ها دارای سطوح صاف و شکل دار بوده و از دو قسمت مرکزی و حاشیه‌ای تشکیل شده است. قسمت مرکزی آن بر روی شیستوزیته  $S_1$  و قسمت حاشیه‌ای آن بر روی شیستوزیته  $S_2$  رشد کرده است؛ m: تصویری از حاشیه گارنت را در نمایی بزرگ‌تر در متاپابازیت‌ها نشان می‌دهد؛ n: تصویر شماتیکی از یک بلور گارنت را نشان می‌دهد که قسمت مرکزی آن بر روی شیستوزیته  $S_1$  و قسمت حاشیه‌ای آن بر روی شیستوزیته  $S_2$  رشد کرده است؛ o: تصویر میکروسکوپی از یک فیلیت را نشان می‌دهد که در اثر نیروهای برشی به میلوبنیت تبدیل شده و شیستوزیته محلی  $S_3$  در آن توسعه یافته است. در این تصویر، عدسی شکل شدن بلورهای پلازیوکلاز و کوارتز و تبدیل سنگ به میلوبنیت، کینک‌باند در بلورها، میکاهای ماهی شکل و توسعه رگه‌هایی که با کوارتز و کلسیت پرشده‌اند، دیده می‌شود.



شیمی گارنت در متاپابازیت‌های کمپلکس گل گوهر بقایایی از اولین مرحله رشد گارنت‌ها در متاپابازیت‌های گل گوهر به صورت یک هسته مرکزی (Grt<sub>la</sub>) دیده می‌شود (قطع GS-233). ترکیب شیمیایی این نسل از گارنت‌ها (هسته گارنت) شامل  $X_{Alm}=0.676$ ,  $X_{Fe}=0.926$ ,  $X_{Spess}=0.071$ ,  $X_{Grs}=0.199$ ,  $X_{Prp}=0.054$  می‌باشند و فرمول شیمیایی آن‌ها را می‌توان به صورت

ضخامت حاشیه‌ای که زونینگ معکوس در گارنت نشان می‌دهد، ارتباط مستقیم با کانی مجاور گارنت دارد. در مواردی که گارنت در تماس مستقیم با بیوتیت و کلریت است، به خاطر انتشار بیشتر عناصر بین این کانی‌ها و گارنت، حاشیه‌ها دارای زونینگ معکوس ضخیم‌تری هستند، اما حاشیه‌هایی که در مجاورت کوارتز و فلدسپات قرار دارند، زونینگ معکوس نداشته یا حاشیه زونه در آن‌ها بسیار نازک است. بررسی دقیق‌تر پروفیل‌های ترکیبی گارنت در متاپلیت‌های گل گوهن نشان می‌دهد که در متاپلیت‌هایی با درجه دگرگونی کمتر مانند نمونه GS-233 مقدار سازنده آلماندن از مرکز به سمت حاشیه افزایش می‌یابد ولی در متاپلیت‌هایی با درجه دگرگونی بالاتر مانند نمونه GS-102، مقدار سازنده آلماندن از مرکز به سمت حاشیه کاهش می‌یابد و تنها سازنده پیروپ به سمت حاشیه افزایش می‌یابد که ناشی از افزایش درجه دگرگونی می‌باشد (شکل ۴).

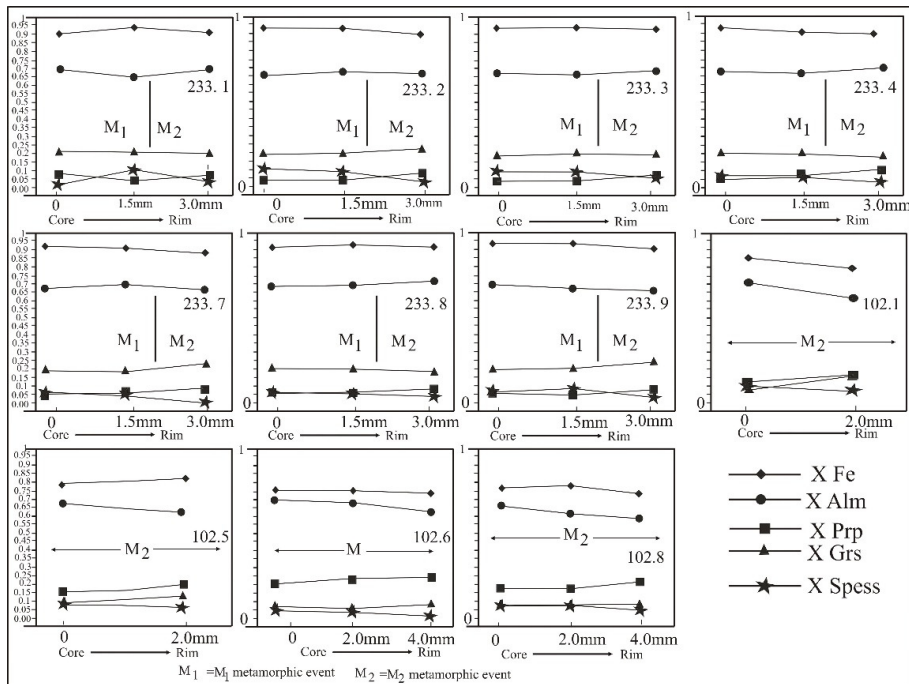
**شیمی گارنت‌ها در فیلونیت‌های گاربن‌شیفر**  
 این گارنت‌ها همراه با آمفیبولهای شعاعی و بلورهای کلریت در فیلونیت‌ها در اثر محلول‌های گرمایی رشد کرده و درشت شده‌اند. ترکیب شیمیایی این گارنت‌ها شامل آلماندن (۰/۶۶)، اسپسارتین (۰/۰۴)، تا ۰/۰۵، گروسولار (۰/۰۱۸ تا ۰/۰۲۲) و پیروپ (۰/۰۰۵ تا ۰/۰۰۸) می‌باشند و مقدار  $X_{Fe}$  نیز بین ۰/۰۸ تا ۰/۹۲ است. در پروفیل‌های ترکیبی رسم شده (شکل ۵)، مقدار سازنده پیروپ از مرکز به سمت حاشیه افزایش می‌یابد، به طوری که مقدار متوسط سازنده پیروپ در هسته و در حاشیه ۰/۰۷۷ است که یک روند افزایشی را برای گارنت‌ها نشان می‌دهد. مقدار سازنده آلماندن یک روند تقریباً یکنواختی را از مرکز به سمت حاشیه نشان می‌دهد، مقدار متوسط این سازنده در هسته ۰/۶۷ و در حاشیه ۰/۶۸ می‌باشد. پروفیل‌های گروسولار و اسپسارتین از مرکز به سمت حاشیه کاهش نشان می‌دهند، به طوری که مقدار سازنده گروسولار در هسته ۰/۰۵ و در حاشیه ۰/۱۹۹ است که یک روند کاهشی را نشان می‌دهد و مقدار سازنده اسپسارتین از مقدار ۰/۰۴۹ در هسته به مقدار ۰/۰۴۷ در حاشیه کاهش می‌یابد. مقدار  $X_{Fe}$  نیز از مقدار ۰/۹۱ در هسته به مقدار ۰/۸۹ در حاشیه کاهش می‌یابد (شکل ۵؛ a و جدول ۲ پیوست).

(Grt<sub>Ib</sub>) و گروه دوم، همزمان با  $S_2$  رشد کرده و فاقد هسته حاشیه می‌باشد (Grt<sub>II</sub>). ترکیب گارنت‌های گروه اول  $X_{Ppp}=0.072$ ،  $X_{Alm}=0.683$ ،  $X_{Fe}=0.906$  و  $X_{Grs}=0.037$ ،  $X_{Spess}=0.209$  شیمیایی آن‌ها به صورت  $(Ca_{0.615})(Fe^{3+}_{0.001})(Al_{2.008}Si_{3.036}O_{12})$  با افزایش درجه دگرگونی و درشت شدن بلورها، گارنت‌های گروه دوم تشکیل شده‌اند که فاقد قسمت مرکزی و حاشیه‌ای می‌باشند و تنها بقایای ضعیفی از شیستوزیتیه مرحله قبلی در زمینه سنگ دیده می‌شود (مقطع شماره GS-102؛ Grt<sub>II</sub>). ترکیب شیمیایی این گارنت‌ها شامل  $X_{Spess}=0.067$ ،  $X_{Grs}=0.107$ ،  $X_{Ppp}=0.176$ ،  $X_{Alm}=0.650$  و  $X_{Fe}=0.788$  و فرمول شیمیایی آن‌ها به صورت  $(Fe^{2+}_{1.937}Mn_{0.198}Mg_{0.526}Ca_{0.320})(Fe^{3+}_{0.006})(Al_{1.993}Si_{3.017}O_{12})$  می‌باشد (جدول ۱ پیوست). همانطور که در ترکیب شیمیایی گارنت‌های همزمان با شیستوزیتیه  $S_2$  مشاهده می‌شود، مقدار عنصر منیزیم و مقادیر سازنده پیروپ افزایش چشمگیری را نشان می‌دهد و از طرفی عناصر آهن و منگنز کاهش می‌یابند. این موضوع همراه با شواهد پتروفاریزیکی اشاره شده در بخش‌های پیشین دلالت بر این دارد که این گارنت‌ها احتمالاً در مرحله دگرگونی فزاینده بعدی و همزمان با شیستوزیتیه  $S_2$  تشکیل شده‌اند.

در پروفیل‌های ترکیبی رسم شده مربوط به هسته گارنت‌ها (هسته گارنت همزمان با شیستوزیتیه  $S_1$  می‌باشد، Grt<sub>Ia</sub>) مقدار سازنده‌های اسپسارتین و  $X_{Fe}$  از مرکز به سمت حاشیه کاهش و مقدار پیروپ افزایش می‌یابد. مقدار سازنده آلماندن در بعضی پروفیل‌ها از مرکز به سمت حاشیه افزایش و در بعضی پروفیل‌ها یک روند کاهشی را نشان می‌دهد. همچنین در بعضی رخنمون‌های ترکیبی مقدار سازنده‌های پیروپ از مرکز به سمت حاشیه کاهش جزئی را نشان می‌دهد که می‌تواند به علت عملکرد دگرگونی پسرونده باشد که قسمت خارجی هسته گارنت را تحت تاثیر قرار داده است (وینکلر، ۲۰۱۱)، این حالت نمایش ضعیفی از زونینگ معکوس را در بعضی گارنت‌هایی که همزمان با شیستوزیتیه  $S_1$  بوجود آمده‌اند، نشان می‌دهد. اما در گارنت‌های Grt<sub>Ib</sub>، مقدار سازنده‌های آلماندن و پیروپ به سمت حاشیه افزایش نشان می‌دهند. افرادی همچون گانگلی و تریون (۲۰۰۲) معتقدند که

پیشنهاد می‌کند که گارنت‌ها، احتمالاً در اثر واکنش بین Hornblende + آمفیبیول و پلاژیوکلаз، طبق واکنش  $\text{Anorthite} = \text{Garnet} + \text{Quartz} + \text{H}_2\text{O}$  بوجود آمده باشند (استوکس و همکاران، ۲۰۱۲؛ کرس و استونیز، ۱۹۹۹).

افزایش منیزیم و آهن از مرکز به سمت حاشیه در گارنت‌ها که می‌تواند به دلیل دمای بالای محلول‌های هیدروترمال و همچو راه با بلورهای آمفیبیول باشد (استوکس و همکاران، ۲۰۱۲)، همراه با افزایش Ca در هورنبلندها و کاهش Ca و آنورتیت در پلاژیوکلاز از مرکز به سمت حاشیه بلورها (فتاحی و احمدی‌پور، ۲۰۱۸).



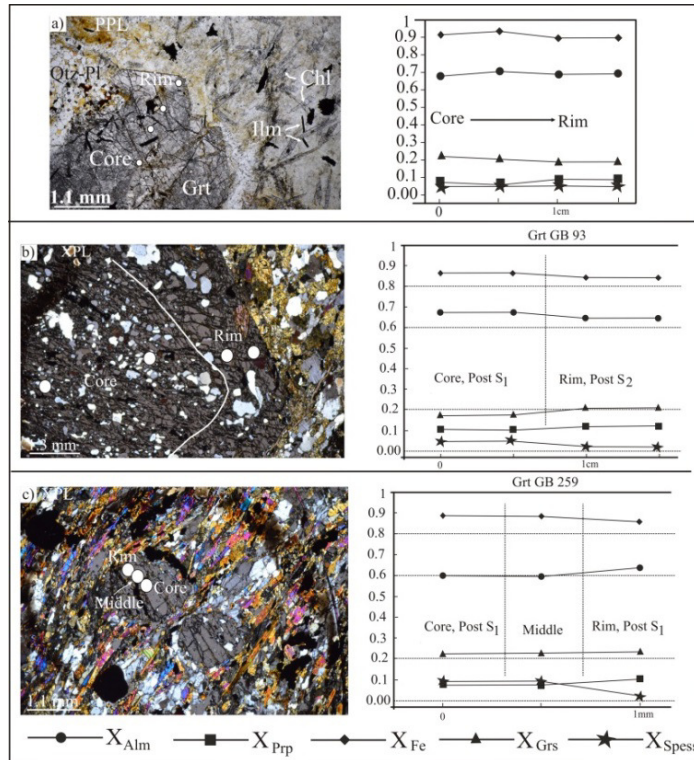
شکل ۴. پروفیل ترکیبی گارنت در متاتپلیت‌های کمپلکس گل‌گوهر

مقدار متوسط  $X_{\text{Prp}}=0.102$  و  $X_{\text{Grs}}=0.211$  است (جدول ۲ پیوست). ترکیب گارنت‌های مرحله اول (گارنت‌های رشد کرده بر روی شیستوزیتیه  $S_1$ ) نشان می‌دهد که در آن‌ها مقادیر  $X_{\text{Fe}}$  و  $X_{\text{Prp}}$  نزدیک به هم بوده و حاکی از تشکیل آن‌ها در یک مرحله دگرگونی است. اما در گارنت‌های مرحله دوم ( HASHIE گارنت در مقطع شماره GB-93) بر روی شیستوزیتیه  $S_2$  رشد کرده است) مقادیر  $X_{\text{Prp}}$  نسبت به گارنت‌های مرحله اول افزایش و مقادیر  $X_{\text{Fe}}$  روند کاهشی را نشان می‌دهد و حاکی از افزایش دما و فشار و دگرگونی پیشرونده در تشکیل گارنت‌ها است. بنابراین می‌توان فرمول شیمیایی بلورهای گارنت مرحله اول را به صورت  $\text{Fe}^{2+}_{1.901}\text{Mn}_{0.168}\text{Mg}_{(Fe^{3+}_{0.004})(\text{Al}_{1.988}\text{Si}_{3.013}\text{O}_{12})}$  و فرمول گارنت‌های مرحله دوم را به صورت  $(\text{Fe}^{2+}_{1.933}\text{Mn}_{0.062}\text{Mg}_{0.368}\text{Ca}_{0.607})(\text{Fe}^{3+}_{0.003})(\text{Al}_{1.984}\text{Si}_{3.038}\text{O}_{12})$

شیمی گارنت در متاتپلیت‌های کمپلکس گل‌گوهر تجزیه‌های شیمیایی از قسمت مرکزی به سمت حاشیه بلورهای گارنت نشان می‌دهند که گارنت‌های موجود در متاتپلیت‌های کمپلکس گل‌گوهر متعلق به سری پیرالسپیت (اسپسارتین-آلماندین-پیروپ) بوده و غنی از آلماندن می‌باشند (شکل ۵؛ a, b و جدول ۲ پیوست). در مقطع شماره GB-259، بلورهای گارنت بر روی شیستوزیتیه  $S_1$  رشد کرده‌اند و پست تکتونیک نسبت به  $S_1$  می‌باشند. ادخال‌های جهت‌یافته‌ای با حالت کامل‌است. ادقایق از کوارتز، پلاژیوکلاز و بیوتیت که در سراسر بلور گارنت امتداد دارند، همراه با سطوح صاف و شکل دار بلورهای گارنت شواهدی برای این موضوع هستند. در گارنت‌های رشد کرده بر روی شیستوزیتیه  $S_1$  در مقطع شماره GB-259، مقادیر متوسط  $X_{\text{Prp}}=0.092$  و  $X_{\text{Grs}}=0.231$  و در مقطع شماره GB-93 (هسته گارنت بر روی شیستوزیتیه  $S_1$  رشد کرده است)

سمت حاشیه بلورهای گارنت (شکل ۵؛ b، c)، مقدار تشکیل گارنت‌ها، افزایش دما نتوانسته باعث انتشار سریع عناصر شود و به همین دلیل در این بلورها منطقه‌بندی مشخصی بوجود آمده که با افزایش آهن و منیزیم از مرکز به سمت حاشیه و کاهش میزان منگنز همراه است (قیان و همکاران، ۲۰۱۳).

نوشت. در پروفیل‌های ترکیبی رسم شده از مرکز به سازنده‌های  $X_{\text{Alm}}$  و  $X_{\text{Fe}}$   $X_{\text{Alm}}$  کاهش و مقدار سازنده‌های  $X_{\text{Prp}}$  افزایش نشان می‌دهد. مقدار  $X_{\text{Grs}}$  نیز تقریباً ثابت و روند افزایشی کمی به سمت حاشیه در بعضی پروفیل‌ها دارد. منطقه‌بندی شیمیایی در بلورهای گارنت مورد مطالعه حاکی از آن است که در هنگام



شکل ۵. a: پروفیل ترکیبی گارنت در فیلوئیت‌های گاربن‌شیفر؛ b و c: پروفیل‌های ترکیبی گارنت در متاتابزیت‌ها

به طور خلاصه، منطقه‌بندی در بلورهای گارنت به دو دلیل اولیه (تفريق) و ثانویه (تغييرات پس از رشد بلور) رخ می‌دهد و اکثر منطقه‌بندی‌ها در طول رشد بلور اتفاق می‌افتد. تغييرات عناصر مرکز گارنت بيشتر به دليل رشد و تفريقي بلوري رخ می‌دهد، در حالی که نوسانات عناصر در حاشیه گارنت‌ها به دليل فرايندهای ثانویه مانند انتشار و هجوم محلول‌های هيدروترمال متاسوماتيسیم کننده رخ می‌دهد (تیمون و همکاران، ۲۰۰۷؛ زمینگ و همکاران، ۲۰۰۰).

در بلورهای گارنت موجود در متاپلیت‌ها و متاتابزیت‌ها زون‌بندی از نوع عادی مشاهده می‌شود، به طوری که تمرکز عناصر Mn، Mg و Fe در هسته گارنت‌ها بیشتر است و به سمت حاشیه، بر مقدار Mg افزواده می‌شود. تمرکز بیشتر Mn در هسته گارنت‌های مورد مطالعه

بحث  
زون‌بندی شیمیایی در بلورهای گارنت شامل زون‌بندی عادی، معکوس و مختلط می‌باشد و به دلایلی همچون ۱- تغيير ضريب جدايش عناصر بين کانی گارنت و زمينه به دليل تغييرات دما، فشار و ترکيب ساير کانی‌های در حال رشد با گارنت (كارلسون، ۲۰۰۲)؛ ۲- رشد يا شکست برخی از کانی‌های غذی در عناصر نادر خاکی (فيويان و همکاران، ۲۰۰۴؛ لندن، ۲۰۰۸)؛ ۳- واکنش با سيالات متاسوماتيسیم کننده (روبل و همکاران، ۲۰۰۷)؛ ۴- نشر بين دانه‌ای برخی از کاتيون‌ها در فضای بين کانی و زمينه (لندن، ۲۰۰۸)؛ ۵- تفريقي يا جدايش عناصر در طول رشد کانی (هوانگ و همکاران، ۲۰۰۱) و ۶- تعادل مجدد آرام کاتيون‌ها در کانی بوسیله انتشار بين‌بلوري (وینکلر، ۲۰۱۱؛ اینو و تورینی، ۲۰۰۴) رخ می‌دهد. اما

به سمت حاشیه بلور رخ داده و عناصر دیگر، در حاشیه بلور غنی شده و به سمت مرکز از میزان آن‌ها کاسته می‌شود (شارابورتی، ۲۰۰۶؛ دزیگل و همکاران، ۲۰۰۹). عدم تغییر در مقدار Al در گارنت‌ها، را می‌توان در ارتباط با بسته بودن سیستم تفسیر کرد، زیرا این عنصر در ضمن جابجایی، عنصری نسبتاً نامتحرک است، لذا اگر تغییرات غیرخطی داشته باشد، به دلیل تاثیر عواملی مانند انتشار و یا عوامل ثانوی است (دزیگل و همکاران، ۲۰۰۹). البته ممکن است روند ثابت Al در گارنت‌ها و عدم تغییرات آن به این دلیل باشد که عنصر سه ظرفیتی دیگری در محیط وجود نداشته تا جانشین Al شود و بنابراین جانشینی Al در سایت تترائدری بسیار محدود بوده است، در حالی که در سایت اکتايدری و موقعیت کوبیک، عناصر دو ظرفیتی مثل آهن، کلسیم، منیزیم و منگنز جانشین یکدیگر شده‌اند. همانطور که در بالا گفته شد، افزایش Mn در هسته گارنت و کاهش Fe در حاشیه آن ناشی از پدیده تفریق و رشد بلوری می‌باشد (هوانگ و همکاران، ۲۰۰۱)، و در صورتی که عوامل ثانویه و یا انتشار بر روی گارنت تاثیر بگذارد، منطقه‌بندی اولیه تغییر خواهد کرد. منطقه‌بندی ناشی از انتشار در آن گروه از گارنت‌های سری آلماندن-اسپسارتین رخ می‌دهد که سیستم آن‌ها تقریباً بسته بوده و جابجایی عناصر فقط در اثر تغییر شرایط فیزیکوشیمیایی رخ داده باشد (ویتنی و همکاران، ۲۰۰۸). افزایش Ca و عضو گروسولاریت از هسته به حاشیه بلورها، در سیستم‌های دگرگونی یا در اثر عوامل ثانویه مانند درز و شکاف و یا پدیده انتشار اتفاق می‌افتد، اما چنانچه آندرادیت در این مورد افزایش یابد، عامل خارجی موثر است. اما اگر تنها مولفه گروسولار افزایش یابد، عامل داخلی و انتشار تاثیر گذار است (لی و همکاران، ۲۰۱۰؛ هوانگ و همکاران، ۲۰۰۳؛ دزیگل و همکاران، ۲۰۰۹). با توجه به مطالب ذکر شده و محتوای پایین گروسولار در گارنت‌های مورد مطالعه (مقدار متوسط ۰/۲۰٪) و افزایش ناچیز آن از هسته به حاشیه و از طرفی نبود سازنده آندرادیت در گارنت‌ها، می‌توان گفت که فوگاسیته اکسیژن در هنگام تبلور گارنت‌ها ثابت بوده و تغییرات آنچنانی نداشته است و یا به تعبیر دیگر، سیستم بسته بوده است.

در بلورهای گارنت موجود در فیلوبونیت‌های گاربن‌شیفر کمپلکس گل‌گوهر، الگوی انکلوزیون‌ها نشان می‌دهد که

بدین صورت تفسیر می‌شود که Mn در ساختمان گارنت، عنصر بسیار سازگاری است و در اولین مرحله تبلور گارنت، تمامی Mn به ساختمان گارنت وارد می‌شود و محیط، از این عنصر تهی می‌گردد. بر اساس مطالعات لندن (۲۰۰۸) و فیو یان و همکاران (۲۰۰۴)، خاصیت جذب قوی گارنت برای عنصر Mn باعث ورود این عنصر در ابتدای تشکیل بلورهای گارنت و تمرکز آن در هسته گارنت می‌شود. همانطور که پیش‌تر اشاره شد، عناصر Mn و Fe در هسته گارنت‌های مورد بررسی، تمرکز بیش‌تری داشته و به سمت حاشیه کاهش می‌یابند و عنصر Mg روندی بر عکس دارد. عناصر Al و Ca تغییرات قابل توجهی بین مرکز و حاشیه گارنت‌ها نشان نمی‌دهند و توزیع یکسانی دارند. رشد گارنت در اثر پدیده دگرگونی نسبت به سایر کانی‌ها زودتر اتفاق می‌افتد و همین امر، حاشیه را از Mn تهی می‌کند و پدیده نشر بین‌بلوری در گارنت‌های غنی از Mn رخ نمی‌دهد (کارلسون، ۲۰۰۲؛ لی و همکاران، ۲۰۱۰). بنابراین افزایش عنصر Mn در هسته گارنت‌های مورد بررسی مرتبط با فرآیندهای دگرگونی تفسیر می‌شود (یانگ و پاتیسون، ۲۰۰۶). اما نشر بین‌دانه‌ای در مورد عناصر Ca، Mg و Fe بیش‌تر رخ می‌دهد، بنابراین چنانچه منطقه‌بندی گارنت نسبت به این عناصر رخ دهد، نمی‌توان با اطمینان گفت که تفریق عامل رشد است یا نشر (کارلسون، ۲۰۰۲). بدین ترتیب به نظر می‌رسد افزایش Mn در هسته گارنت‌ها حاکی از پدیده تفریق و رشد بلوری مرتبط با فرآیندهای دگرگونی باشد.

علت عدم منطقه‌بندی مشخص عناصر Ca و Al از هسته به حاشیه گارنت‌ها در نمونه‌های GB-93 و GB-259 و عدم تغییرات عنصر Fe از هسته به سمت حاشیه بلورهای گارنت در نمونه GB-259 ممکن است به دلیل بسته بودن سیستم دگرگونی و عدم اکسیداسیون  $\text{Fe}^{2+}/\text{Fe}^{3+}$  باشد (وایر و اجیو، ۲۰۰۶). شواهد ذکر شده، همراه با افزایش Mn در هسته و کاهش Fe و افزایش منیزیم در حاشیه گارنت‌ها که در رخنمون‌های ترکیبی نیز مشخص است، نشانگر آن است که رشد گارنت‌ها در اثر پدیده رشد بلوری و تفریق عناصر در طی دگرگونی رخ داده است (هوانگ و همکاران، ۲۰۰۳). در سیستم‌های بسته دگرگونی، تغییرات ترکیبی در گارنت، به صورت غنی شدگی یک یا چند عنصر در مرکز و کاهش تدریجی آن‌ها

کمپلکس گل‌گوهر غنی از آلماندن بوده و کاهش سازنده‌های اسپسارتین و  $X_{Fe}$  و افزایش سازنده‌های پیروپ و آلماندن از مرکز به سمت حاشیه آن‌ها پدیده زون‌بندی عادی را در آن‌ها نشان می‌دهد. شواهدی مانند Mn بالا و Fe پایین در هسته گارنت‌ها، محتوای پایین گروسولار در گارنت‌های مورد مطالعه و افزایش ناچیز آن از هسته به حاشیه و از طرفی نبود سازنده‌های آندرادیت در گارنت‌ها به همراه عدم تغییرات Al در آن‌ها را می‌توان در گارنت‌ها به همراه عدم تغییرات Al در آن‌ها را می‌توان به عنوان شواهدی برای بسته بودن سیستم دگرگونی و ثابت بودن فوگاسیته اکسیژن در هنگام تشکیل بلورهای گارنت تفسیر کرد. سطوح صاف و شکل‌دار بلورهای گارنت موجود در فیلوفیت‌های گاربن‌شیفر همراه با افزایش منیزیم و آهن از مرکز به سمت حاشیه گارنت‌ها، افزایش Ca در هورنبلندها و کاهش Ca و آنورتیت در پلازیوکلаз از مرکز به سمت حاشیه بلورها پیشنهاد می‌کند که این بلورها می‌توانند از واکنش بین پلازیوکلاز Hornblende + Anorthite = Garnet + آمفیبیول (H<sub>2</sub>O) در شرایط استاتیک و در اثر محلول‌های Hيدروترمال بر روی شیستوزیته سنگ تشکیل شوند.

#### منابع

- افتخارنژاد، ج (۱۳۵۹) تفکیک بخش‌های مختلف ایران از نظر وضع ساختمانی در ارتباط با حوضه‌های رسوی. نشریه انجمن نفت، شماره ۸۲، ص ۲۸-۱۹.
- شفیعی‌بافتی، ش (۱۳۷۹) تکامل تکتونیکی سنگ‌های پالتوزوئیک-مزوزوئیک کمرنند دگرگونی سنندج - سیرجان، منطقه خبر. پایان‌نامه کارشناسی ارشد، دانشگاه شهید بهشتی، تهران، ۱۵۳ ص.
- فضل‌نیا، ع. مرادیان، ع. علیپور، س. موذن، م. شنک، و (۱۳۸۶) مطالعه با拓لیت شهربابک و ارتباط آن با سنگ‌های دگرگونی شمال‌شرق نیریز. رساله دکتری، دانشگاه شهید بهشتی کرمان، کرمان، ۳۳۶ ص.
- Agard, p., Omrani, J., Jolivet, L., Mouthereau, F (2005) Convergence history across Zagros (Iran): constraints from collisional and earlier deformation. International Journal of Earth Sciences, 94: 401-419.
- Agard, p., Omrani, J., Jolivet, L., Whitechurch, H., Vrielynck, B., Spakman, W., Monie, P., Meyer, B., Wortel, R (2011) Zagros Orogeny: a subduction-dominated. Geological Magazine, 148(5-6): 692-725.
- Ahmadi Khalaji, A., Esmaeily, D., Valizadeh, M.V., Rahimpour-Bonab, H (2007) Petrology

هسته آن‌ها همراه با شیستوزیته اصلی سنگ، تشکیل شده و همزممان با تکتونیک است. اما حاشیه گارنت‌ها، صاف و شکل‌دار بوده و می‌توانند از واکنش بین پلازیوکلاز و آمفیبیول در شرایط استاتیک بوجود آیند. نویسنده‌گان زیادی (اسافی، ۲۰۰۴؛ اشپرینگر و دی، ۲۰۰۲) معتقدند که دگرگونی هیدروترمال بوسیله نفوذ سیالات در مناطق برشی رخ می‌دهد. در منطقه مورد مطالعه، جایگزینی و نفوذ توده‌های نفوذی گرانیتی و دیوریتی در توالی‌های مجموعه گل‌گوهر، می‌تواند باعث ایجاد و گرم شدن سیالات شود. وجود گسل‌های متعدد همرا با مناطق برشی نشان می‌دهند که منطقه مورد مطالعه، از لحاظ تکتونیکی فعال بوده و مناطق برشی می‌توانند به قسمت‌های عمیق‌تر پوسته نفوذ کرده و باعث تسهیل بالا آمدن یک سیال داغ مشتق شده از توده‌های نفوذی شوند. به طوری که، سیالات هیدروترمال در هنگام حرکت به سمت بالا و گذر از لایه‌های متابازیت و غنی‌شدگی از عناصری مانند آهن و منیزیم با سنگ‌های دیواره (فیلیت) واکنش داده و باعث تشکیل بلورهای هورنبلند و گارنت شده‌اند. افزایش منیزیم و آهن از مرکز به سمت حاشیه در گارنت‌ها همراه با افزایش Ca در هورنبلندها و کاهش Ca و آنورتیت در پلازیوکلاز از مرکز به سمت حاشیه بلورها (فاتحی و احمدی‌پور، ۲۰۱۸)، پیشنهاد می‌کند که گارنت‌ها، احتمالاً در اثر واکنش بین Hornblende + آمفیبیول و پلازیوکلاز، طبق واکنش  $\text{Anorthite} = \text{Garnet} + \text{Quartz} + \text{H}_2\text{O}$  باشند (استاک و همکاران، ۲۰۱۲؛ کرس و استونیز، ۱۹۹۹). رشد سریع پورفیروبلاست‌های هورنبلند و گارنت، باعث کاهش  $\text{H}_2\text{O}$  از ترکیب سیال شده و بنابراین  $\text{CO}_2$  افزایش می‌یابد. بلورهای کلسیت تشکیل شده در زمینه سنگ، این موضوع را نشان می‌دهند.

#### نتیجه‌گیری

مطالعات پتروفابریکی و ثبت شواهد بافتی در بلورهای گارنت، حواծ تکتونوماتامورفیکی اعمال شده بر سنگ‌های دگرگونی مورد مطالعه را نشان می‌دهد و مراحل رشد مختلف بلورهای گارنت را به تصویر می‌کشد و حاکمی از آن است که چهار حادثه دگرگونی و چهار فاز دگرشکلی واحدهای سنگی را تحت تاثیر قرار داده‌اند. همچنین گارنت‌های موجود در متابازیت‌ها و متابازیت‌های

- Harangi, S.Z., Downes, H., Kosa, L., Szabo, C.S., Thirlwall M.F., Mason P.R.D., Matthey, D (2002) Almandine garnet in calc-alkaline volcanic rocks of the Pannonian basin (eastern-central Europe). *Geochemistry, Petrogenesis and Geodynamic Implications*, *Journal of Petrology*, 10: 1813-1843.
- Hwang, S.L., Shen, P., Yui, T.F., Chu, H.T (2003) On the mechanism of resorption zoning in metamorphic garnet. *Journal of Metamorphic Geology*, 21(8): 761-769.
- Hwang, S.L., Yui, T.F., Chu, H.T., Shen, P (2001) Submicron polyphase inclusions in garnet from the Tananao metamorphic complex, Taiwan, a key to unravelling otherwise unrecognized metamorphic events. *Journal of Metamorphic Geology*, 19(5): 601- 607.
- Li Li, H., Kuang, X., Mao, A., Li, Y., Wang, S (2010) Study of local structures and optical spectra for octahedral  $\text{Fe}^{3+}$  centers in a series of garnet crystals A3B-2C3O12 (A = Cd, Ca; B = Al, Ga, Sc, In; C = Ge, Si). *Journal of Chemical Physics Letters*, 484: 387-391.
- Locock, A (2008) An Excel spreadsheet to recast analyses of garnet end-member components, and a synopsis of the crystal chemistry of natural silicate garnets. *Journal of Computers and Geosciences*, 34: 1769-1780.
- London, D (2008) Pegmatites. *Canadian Mineralogist, Special Publication*, 10: 347 p.
- Mahmoodi, S.H., Corfu, F., Masoudi, F., Mehrabi, B., Mohajjel, M (2011) U-Pb dating and emplacement history of granitoid plutons in the northern Sanandaj-Sirjan zone, Iran. *Journal of Asian Earth Sciences*, 41: 238-249.
- Martino, R. D., Guereschi, A. B., Sfragulla, J. A (2009) Petrology, structure and tectonic significance of the Tuclame banded schists in the Sierras Pampeanas of Crdoba and its relationship with the metamorphic basement of northwestern Argentina. *Journal of South America n Earth Sciences*, 27: 280-298.
- Mohajjel, M., and Fergusson, C.L (2000) Dextral transpression in late Cretaceous continental collision, Sanandaj-Sirjan zone, Western Iran. *Journal of Structural Geology*, 22: 1125-1139.
- Mohajjel, M., Fergusson, C.L., Sahandi, M.R (2003) Cretaceous-Tertiary convergence and continental collision, Sanandaj-Sirjan zone, western Iran: *Journal of Asian Earth Sciences*, 21: 397-412.
- Mohajjel, M., Fergusson, C.L (2014) Jurassic to Cenozoic tectonics of the Zagros orogeny in the northwestern Iran. *International Geology Reviews*, 53: 263-287.
- Norlander, B.H., Whitney, D.L., Teyssier, C., Vanderhaeghe, O (2002) Partial melting and decompression of the Thor-Odin Dome, Shuswap metamorphic core complex. Canada. *Journal of Cord. Lithos*, 61: 103-125.
- and geochemistry of the granitoid complex of Boroujerd, Sanandaj-Sirjan zone, western Iran. *Journal of Asian Earth Sciences*, 29: 859-877.
- Arfania, R., Shahriari, S (2009) Role of southern Sanandaj-Sirjan zone in the tectonic evolution of the Zagros orogenic belt, Iran. *ISI Arc*, 18(4): 555-576.
- Bucher, K., Frey, M (2002) Petrogenesis of metamorphic rocks. 7<sup>th</sup> edition, Springer-Verlag Berlin, 341p.
- Bucher, K., Grapes, R (2011) Petrogenesis of Metamorphic Rocks, Springer-Verlag Berlin Heidelberg, 441p.
- Carlson, W.D (2002) Scales of disequilibrium and rates of equilibration during metamorphism, *American Mineralogist*, 87: 185-204.
- Chakraborty, S (2006) Diffusion modeling as a tool for constraining timescales of evolution of metamorphic rocks. *Journal of Mineralogy and Petrology*, 88: 7-27.
- Droop, G.T.R (1987) A general equation for estimating  $\text{Fe}^{3+}$  concentrations in ferromagnesian silicates and oxides from microprobe analyses, using stoichiometric criteria. *Mineralogical Magazine*, 51: 431-450.
- Dziggel, A., Wulff, K., Kolb, J., Meyer, F.M., Lahaye, Y (2009) Significance of oscillatory and bell-shaped growth zoning in hydrothermal garnet: Evidence from the Navachab gold deposit, Namibia. *Journal of Chemical Geology*, 262(3-4): 262-276.
- Essaifi, A., Capdevila, R., Fourcade, S., Lagarde, J.L., Ballever, M., Marigna, C.H (2004) Hydrothermal alteration, fluid flow and volume change in shear zones: the layered mafic-ultramafic Kettara intrusion (Jebilet Massif, Variscan belt, Morocco). *Journal of Metamorphic Geology*, 22: 25-43.
- Fatehi, H., Ahmadipour, H (2018) Mineralogy, geochemistry and petrogenesis of metamorphic rocks in Gol-e-Gohar and Rutchun complexes (southwest of Baft city, Kerman province). Unpublished Ph.D thesis. Shahid Bahonar university of Kerman, 467 p (in Persian).
- Fu-Yuan, W., Sun, D., Wilde, S (2004) A Jurassic garnet-bearing granitic pluton from NE China showing tetrad patterns. *Journal of Asian Earth Science*, 23(5): 731-744.
- Ganguly, J., Tirone, M (2002) Closure-temperature and -age of minerals. *Journal of Geochimica et osmochimica Acta*, 66: 260.
- Ghalamghash, J., Nédélec, A., Bellon, H., Vousoughi Abedini, M., Bouchez, J.L (2009) The Urumieh plutonic complex (NW Iran): a record of the geodynamic evolution of the Sanandaj-Sirjan zone during Cretaceous times-part I: petrogenesis and K/Ar dating. *Journal of Asian Earth Sciences*, 35: 401-415.

- Qian, J., Wei, C., Zhou, X., Zhang, Y (2013) Metamorphic P-T paths and New Zircon U-Pb age data for garnet–mica schist from the Wutai Group, North China Craton. Elsevier, Precambrian Research, 233: 282-296.
- Robl, J., Hergarten, S., Stuwe, K., Hauzenberger, C (2007) Thermal History: A new software to interpret diffusive zoning profiles in garnet. Journal of Computers and Geosciences, 33: 760-772.
- Sabzehei, M., Navazi, M., Azizan, H., Roshan Ravan, J., Nazemzadeh, M (1997) Geological map of Khabr, Scale 1/100000. Geological Survey of Iran, Tehran, Iran.
- Sheikholeslami, M.R., Pique, A., Mobayen, P., Sabzehei, M., Bellon, H., Emami, M.H (2008) Tectono-metamorphic evolution of the Neyriz metamorphic complex, Quri-Kor-e-sefid area (Sanandaj-Sirjan zone, SW Iran). Journal of Asian Earth Sciences, 31: 504-521.
- Springer, R.K., Day, H.W (2002) Hydrothermal amphibole in subgreenschist facies mafic rocks, western Sierra Nevada, California. Schweizerische mineralogische und petrographische Mitteilungen, 82: 341-354.
- Steffen K., Silverstone J.S., Brearley, A (2014) Episodic weakening and strengthening during syn-metamorphic deformation in a deep-crustal shear zone in the Alps. Geological Society of London Special Publication, 186: 141-156.
- Timón, S.M., Moro, M.C., Cembranos, M.L., Fernández, A (2007) Contact metamorphism in the Los Santos W skarn(NW Spain), Mineralogy and Petrology, 90: 109-140.
- Whitney, D.L. and Evans, B.W (2010) Abbreviation for names of rock-forming minerals. American Mineralogist, 95: 185-187.
- Whitney, D.L., Goergen, E.T., Ketchan, R.A., Kunze, K (2008) Formation of garnet polycrystals during metamorphic crystallization. Journal of Metamorphic Geology, 26(3): 365-383.
- Wilbur, E., and Ague, J (2006) Chemical disequilibrium during garnet growth: Monte Carlo simulations of natural crystal morphologies. Journal of Social American, 34: 689-692.
- Winkler, J.D.H (2011) Petrogenesis of Metamorphic rocks, Springer-Verlag New York, 263 p.
- Yang, P., and Pattison, D (2006) Genesis of monazite and Y zoning in garnet from the Black Hills, South Dakota. Journal of Lithos, 88: 233-253.
- Zeming, Z., Yong, Y., Zhang, J (2000) The compositional zoning of garnet in eclogite from western segment of Aityn Tag. Chinese Science Bulletin, 45: 79-83.

جدول ۱. آنالیزهای شیمیایی میکروپروب گارنت‌های موجود در میلیت‌های کمپلکس گل گوهر

Comp lex	GS-233								Gol-e-Gohar							
Rock Type									Metapelite							
Sampl e									GS-102							
Miner al	GrtI a	GrtI a	GrtI b	GrtI a	GrtI a	Grt Ib	GrtI a	GrtI a	GrtI II	GrtI I	GrtI I	GrtI I	GrtI I	GrtI I	GrtI I	GrtI I
Point	7-a	7-b	7-c	2-a	2-b	2-c	8-a	8-b	1-a	1-b	6-a	6-b	6-c	8-a	8-b	
Part	Core	Core	Rim	Core	Core	Ri m	Core	Core	Cor e	Rim	Core	Rim	Rim	Core	Rim	
SiO <sub>2</sub>	37.2 3	38.2 0	38.5 2	36.9 4	37.1 7	38. 28	38.4 4	38.2 6	37. 75	37. 91	38.2 1	38.7 7	38.8 6	38.5 4	38.6 4	38.2 5
TiO <sub>2</sub>	0.13	0.06	0.08	0.15	0.11	0.0 9	0.12	0.05	0.1 1	0.0 5	0.03	0.02	0.05	0.01	0.02	0.01
Al <sub>2</sub> O <sub>3</sub>	21.4 3	21.7 9	21.6 3	21.2 9	21.5 0	21. 39	21.6 9	21.5 6	21. 10	20. 87	21.4 5	21.6 9	21.9 8	21.4 3	21.6 8	21.5 8
Cr <sub>2</sub> O <sub>3</sub>	0.00	0.02	0.00	0.06	0.10	0.0 0	0.04	0.02	0.0 8	0.0 1	0.03	0.00	0.04	0.00	0.03	0.03
V <sub>2</sub> O <sub>3</sub>	0.03	0.00	0.00	0.09	0.00	0.0 0	0.00	0.00	0.0 0	0.0 0	0.00	0.03	0.08	0.00	0.06	0.09
FeO	30.9 6	31.2 4	30.1 6	29.9 0	30.7 6	29. 14	29.9 6	30.8 8	30. 81	30. 82	27.9 3	31.0 5	31.0 7	28.3 6	29.1 7	28.0 6
MnO	3.00	2.07	0.31	4.70	3.89	1.1 8	2.52	2.33	1.8 3	4.1 6	2.99 2.99	1.53 1.53	1.73 1.73	2.65 2.65	3.38 3.38	3.41 3.41
MgO	1.46	1.63	2.36	1.02	1.11	1.8 7	1.57	1.53	1.6 8	3.0 1	4.11 4.11	5.78 5.78	5.90 5.90	4.24 4.24	4.98 4.98	4.47 4.47
CaO	7.09	6.61	8.37	6.97	6.86	7.5 5	6.93	7.01	6.1 0	2.6 1	5.60 5.60	2.41 2.41	2.07 2.07	5.29 5.29	3.01 3.01	4.52 4.52
Na <sub>2</sub> O	0.07	0.09	0.07	0.06	0.06	0.0 0	0.10	0.04	0.0 3	0.0 3	0.03	0.00	0.04	0.03	0.02	0.00
K <sub>2</sub> O	0.00	0.03	0.01	0.01	0.01	0.0 0	0.00	0.02	0.0 1	0.0 0	0.01	0.00	0.00	0.00	0.00	0.00
F	0.02	0.10	0.00	0.00	0.00	0.0 0	0.14	0.14	0.0 0	0.0 0	0.00	0.00	0.00	0.00	0.17	0.12
Cl	0.03	0.03	0.05	0.01	0.00	0.0 0	0.02	0.00	0.0 3	0.0 0	0.01	0.02	0.02	0.00	0.00	0.00
Total	101. 52	101. 81	101. 62	101. 19	101. 56	99. 50	101. 51	101. 83	99. 54	99. 46	100. 39	101. 30	101. 84	100. 59	101. 12	100. 53
Form ula	Si 2	3.00 8	3.01 8	3.01 0	3.00 3	3.0 69	3.04 2	3.02 1	3.0 47	3.0 59	3.01 0	3.01 7	3.00 9	3.02 9	3.02 9	3.01 3
Ti	0.00	0.00	0.00	0.00	0.00	0.0 5	0.00	0.00	0.0 07	0.0 03	0.00 2	0.00 1	0.00 3	0.00 1	0.00 1	0.00 1
Al	1.98 9	2.02 3	2.00 2	1.98 4	1.99 3	2.0 21	2.02 3	2.00 7	2.0 07	1.9 85	1.99 1	1.99 0	2.00 7	1.98 9	1.99 8	2.00 3
Cr	0.00	0.00	0.00	0.00	0.00	0.0 0	0.00	0.00	0.0 05	0.0 00	0.00 2	0.00 0	0.00 2	0.00 0	0.00 2	0.00 2
Fe <sup>3+</sup>	0.00	0.00	0.00	0.00	0.00	0.0 0	0.00	0.00	0.0 0	0.0 00	0.00 0	0.00 0	0.00 0	0.00 0	0.00 0	0.00 0
Fe <sup>2+</sup>	2.03 3	2.06 4	1.97 6	1.97 8	2.02 4	1.9 54	1.98 3	2.03 9	2.0 79	2.0 80	1.84 0	2.02 1	2.01 2	1.86 4	1.91 2	1.84 8
Mn	0.19 9	0.13 8	0.02 1	0.31 4	0.25 9	0.0 80	0.16 9	0.15 6	0.1 25	0.2 84	0.20 0	0.10 4	0.11 7	0.17 4	0.22 7	0.22 7
Mg	0.17 1	0.19 2	0.27 6	0.12 1	0.13 0	0.2 23	0.18 5	0.18 02	0.2 02	0.3 63	0.48 2	0.67 0	0.68 1	0.49 7	0.58 1	0.52 4
Ca	0.59 6	0.55 9	0.70 3	0.59 0	0.57 8	0.6 49	0.58 7	0.59 3	0.5 28	0.2 26	0.47 3	0.20 1	0.10 2	0.11 5	0.25 3	0.38 2
Total	8.00 0	8.00 0	8.00 0	8.00 0	8.00 0	8.0 00	8.00 0	8.00 00	8.0 00	8.0 00	8.00 0	8.00 0	8.00 0	8.00 0	8.00 0	
XAlm	0.67 8	0.69 9	0.66 4	0.65 9	0.67 7	0.6 72	0.67 8	0.68 7	0.7 09	0.7 04	0.61 4	0.67 5	0.67 6	0.62 5	0.64 4	0.62 0
XPrp	0.05 7	0.06 5	0.09 3	0.04 0	0.04 3	0.0 77	0.06 3	0.06 1	0.0 69	0.1 23	0.16 1	0.22 4	0.22 9	0.22 7	0.16 6	0.19 6
XGrs	0.19 9	0.18 9	0.23 6	0.19 7	0.19 3	0.2 23	0.20 1	0.20 0	0.1 80	0.0 76	0.15 8	0.06 7	0.05 8	0.14 9	0.08 5	0.12 8
XSpes	0.06 6	0.04 7	0.00 7	0.10 5	0.08 7	0.0 27	0.05 8	0.05 3	0.0 43	0.0 96	0.06 7	0.03 4	0.03 8	0.05 9	0.07 5	0.07 6
XFe	0.92 0	0.91 0	0.88 0	0.94 0	0.94 0	0.9 00	0.91 0	0.92 0	0.9 10	0.8 52	0.79 2	0.75 1	0.74 7	0.79 0	0.76 7	0.77 9

جدول ۲. آنالیزهای شیمیابی میکروپرورب گارنت‌های موجود در متاپازیت‌ها و فیلوبونیت‌های گاربن‌شیفر کمپلکس گل‌گوهر

Complex	Rock Type	Gol-e-Gohar										Garbenschiefer phyllite						
		Metabasite																
Sample Mineral	GB93								GB259				GS-234					
	Garnet																	
Point	B-1	B-2	B-3	B-4	C-1	C-2	C-3	C-4	A-1	A-2	A-3	B-1	B-2	B-3	A-1	A-2	A-3	A-4
Part	Core	Core	Rim	Rim	Core	Core	Rim	Rim	Core	Middle	Rim	Core	Middle	Rim	Core	Core	Rim	Rim
SiO <sub>2</sub>	38.95	39.05	39.23	39.32	38.42	38.29	38.89	39.23	38.37	38.20	37.69	38.18	38.36	38.68	38.23	38.27	38.45	38.24
TiO <sub>2</sub>	0.00	0.07	0.06	0.06	0.01	0.12	0.07	0.07	0.11	0.12	0.08	0.15	0.16	0.06	0.13	0.09	0.02	0.08
Al <sub>2</sub> O <sub>3</sub>	21.57	21.96	21.88	21.26	21.64	21.50	21.70	21.52	21.48	21.35	21.31	21.60	21.96	21.81	21.30	21.46	21.70	21.21
Cr <sub>2</sub> O <sub>3</sub>	0.03	0.05	0.00	0.00	0.00	0.00	0.00	0.00	0.06	0.05	0.00	0.00	0.00	0.01	0.01	0.04	0.03	0.07
V <sub>2</sub> O <sub>3</sub>	0.00	0.04	0.05	0.04	0.10	0.00	0.01	0.02	0.06	0.06	0.05	0.00	0.01	0.00	0.00	0.00	0.00	0.00
FeO	32.16	30.68	28.94	28.99	30.37	28.84	30.19	30.03	27.66	27.02	28.22	28.29	28.32	28.63	29.93	30.82	31.32	31.43
MnO	2.13	1.97	0.98	0.97	2.89	2.67	0.89	0.86	4.31	4.31	0.94	3.49	2.24	1.74	1.89	1.94	2.20	2.01
MgO	2.79	2.72	3.07	3.08	2.53	2.27	3.13	3.62	2.00	2.02	2.64	1.92	2.21	2.56	1.70	1.35	2.18	2.15
CaO	6.29	6.29	7.36	7.40	6.24	6.79	7.20	7.26	8.16	8.15	8.14	8.10	8.20	8.33	7.58	6.89	6.66	6.68
Na <sub>2</sub> O	0.00	0.00	0.00	0.00	0.03	0.03	0.00	0.00	0.02	0.06	0.06	0.05	0.06	0.06	0.04	0.01	0.00	0.00
K <sub>2</sub> O	0.00	0.00	0.01	0.02	0.02	0.01	0.00	0.00	0.00	0.00	0.01	0.00	0.00	0.00	0.01	0.00	0.01	0.00
F	0.06	0.08	0.00	0.00	0.00	0.06	0.00	0.00	0.32	0.30	0.00	0.18	0.12	0.00	0.00	0.00	0.02	0.01
Cl	0.00	0.00	0.00	0.01	0.02	0.00	0.00	0.00	0.00	0.00	0.02	0.00	0.00	0.01	0.00	0.00	0.00	0.15
Total	103.99	102.91	101.56	101.14	102.26	100.60	102.09	102.62	102.56	101.66	99.18	101.97	101.65	101.87	100.83	100.89	102.59	102.06
Formula	12 O																	
Si	2.996	3.029	3.061	3.084	3.007	3.040	3.024	3.027	3.000	3.011	3.018	2.997	3.008	3.016	3.036	3.047	3.001	3.008
Ti	0.000	0.004	0.003	0.003	0.001	0.007	0.004	0.004	0.007	0.007	0.005	0.009	0.010	0.003	0.008	0.006	0.001	0.005
Al	1.956	2.007	2.012	1.966	1.996	2.012	1.988	1.958	1.979	1.983	2.011	1.998	2.029	2.005	1.993	2.014	1.996	1.966
Cr	0.002	0.003	0.000	0.000	0.000	0.000	0.000	0.000	0.004	0.003	0.000	0.000	0.000	0.001	0.001	0.003	0.002	0.004
Fe <sub>3</sub>	0.049	0.000	0.000	0.000	0.000	0.000	0.000	0.000	0.004	0.000	0.000	0.000	0.000	0.000	0.000	0.000	0.000	0.004
Fe <sub>2</sub>	2.019	1.990	1.888	1.902	1.988	1.915	1.963	1.938	1.804	1.781	1.890	1.857	1.857	1.867	1.988	2.052	2.044	2.063
Mn	0.139	0.130	0.064	0.065	0.191	0.179	0.059	0.056	0.286	0.288	0.064	0.232	0.148	0.115	0.127	0.131	0.145	0.134
Mg	0.320	0.315	0.357	0.360	0.295	0.269	0.363	0.417	0.233	0.238	0.315	0.225	0.259	0.297	0.201	0.160	0.254	0.252
Ca	0.518	0.522	0.615	0.622	0.523	0.578	0.600	0.600	0.683	0.688	0.698	0.681	0.689	0.696	0.645	0.588	0.557	0.563
Total	8.000	8.000	8.000	8.000	8.000	8.000	8.000	8.000	8.000	8.000	8.000	8.000	8.000	8.000	8.000	8.000	8.000	
XAlm	0.674	0.673	0.646	0.645	0.663	0.651	0.658	0.644	0.600	0.595	0.637	0.620	0.629	0.628	0.671	0.700	0.681	0.685
XPrp	0.107	0.106	0.122	0.122	0.098	0.092	0.122	0.138	0.078	0.079	0.106	0.075	0.088	0.100	0.068	0.055	0.085	0.084
XGrs	0.173	0.177	0.210	0.211	0.175	0.196	0.201	0.199	0.227	0.230	0.235	0.227	0.233	0.234	0.218	0.201	0.186	0.187
XSpess	0.046	0.044	0.022	0.022	0.064	0.061	0.020	0.019	0.095	0.096	0.021	0.077	0.050	0.039	0.043	0.045	0.048	0.044
XFe	0.866	0.864	0.841	0.841	0.871	0.877	0.844	0.823	0.886	0.882	0.857	0.892	0.878	0.863	0.908	0.928	0.890	0.890

## Chemistry and formation mechanism of garnet in the metapelites and metabasites from the Gol-e-Gohar metamorphic complex, Kerman province

**H. Fatehi**

Dept., of geology, Faculty of Science, Shahid Bahonar University of Kerman, Kerman

\* hoseinfatehi61@gmail.com

**Received: 2018/6/3**

**Accepted: 2018/9/22**

### **Abstract**

The recorded textural evidences of garnets included in the metapelites and metabasites from the Gol-e-Gohar complex in southeastern Sanandaj-Sirjan zone highlight evidences of syn-S<sub>1</sub> growth, post S<sub>1</sub> schistosity, syn-S<sub>2</sub> and after S<sub>2</sub> schistosity. The presence of two generations of garnet (Grt<sub>Ia</sub>, Grt<sub>IIb</sub>) in metapelites suggest dehydration continuous reaction Grt<sub>Ia</sub>+Bt<sub>I</sub>=Bt<sub>II</sub>+Grt<sub>IIb</sub>+Qz+H<sub>2</sub>O. Compositional profiles of garnet crystals in the metapelites and metabasites show decreasing spessartine and X<sub>Fe</sub> proportions and increase of pyrope and almandine from the center to the rim. All garnets belong to the pyralspite series (Spessartine-Almandine-Pyrope) and are almandine-rich. Increasing Mn in the garnet core is indicative of differentiation and crystalline growth associated with metamorphic processes. On the other hand, the lack of clear zoning of Ca and Al from the center to the rim of garnets and the minor changes of Fe element from the center to the rim could be an indicative of a closed system and Fe<sup>2+</sup>/Fe<sup>3+</sup> non-oxidation during metamorphism indicating growth of garnets occurred due to crystalline growth and differentiation of elements during metamorphism. Also, increasing Mg and Fe from the center to the garnet rim along with increasing Ca contents in hornblendes and decreasing Ca and An contents in plagioclase from their centers to the margins suggest that the garnets probably formed by reaction between hornblende and plagioclase as the reaction Hornblende + Anorthite = Garnet + Quartz + H<sub>2</sub>O. The coarsening and rapid growth of garnet and hornblende porphyroblasts removed H<sub>2</sub>O from the fluids and resulted in a gradual increase in the CO<sub>2</sub> contents of the fluids. Sporadic calcites in the matrix testifies this issue.

**Keywords:** Metapelite, Metabasite, Garnet, Gol-e-Gohar complex, Sanandaj-Sirjan zone